

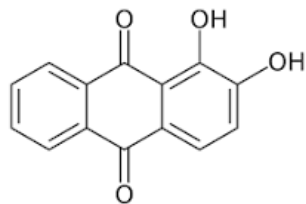
QFL1345 – Fundamentos de Espectroscopia e Métodos Espectroscópicos

Massuo Jorge Kato (Bloco 11 T, sala 1124, 3091-1886/3813, majokato@iq.usp.br)

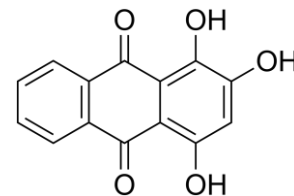
Material: STOA-USP

Aula 17 de maio de 2023

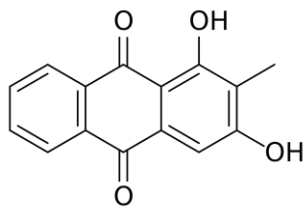
Como detectar os pigmentos antraquinônicos em uma mistura?



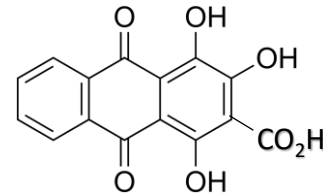
Alizarina



Purpurina

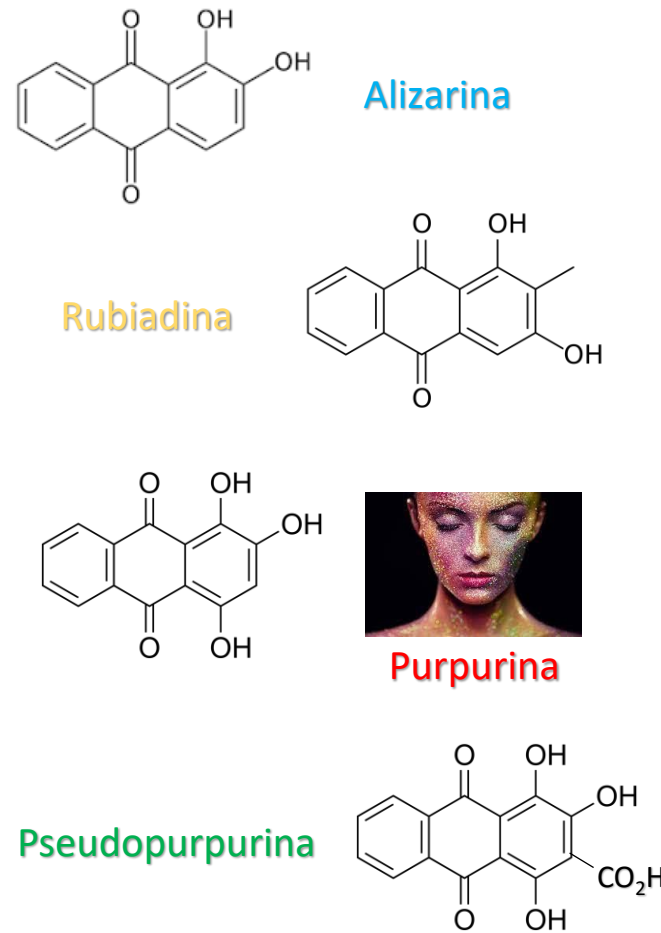
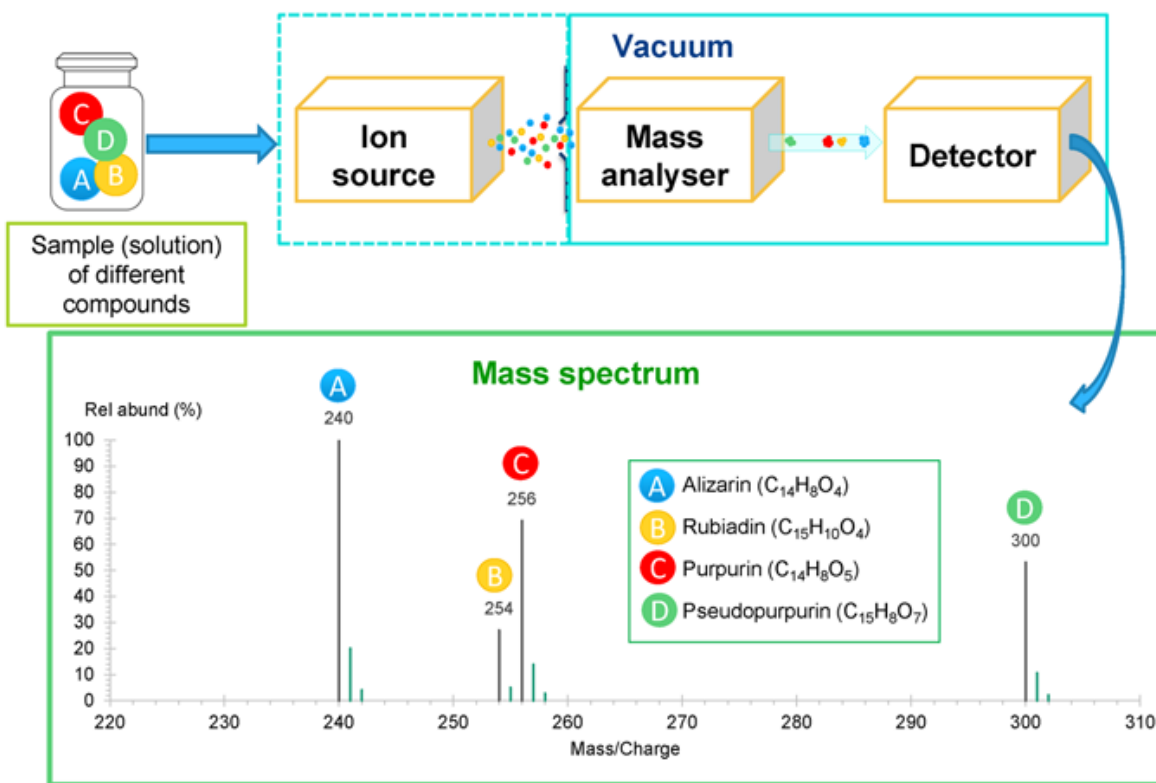


Rubiadina



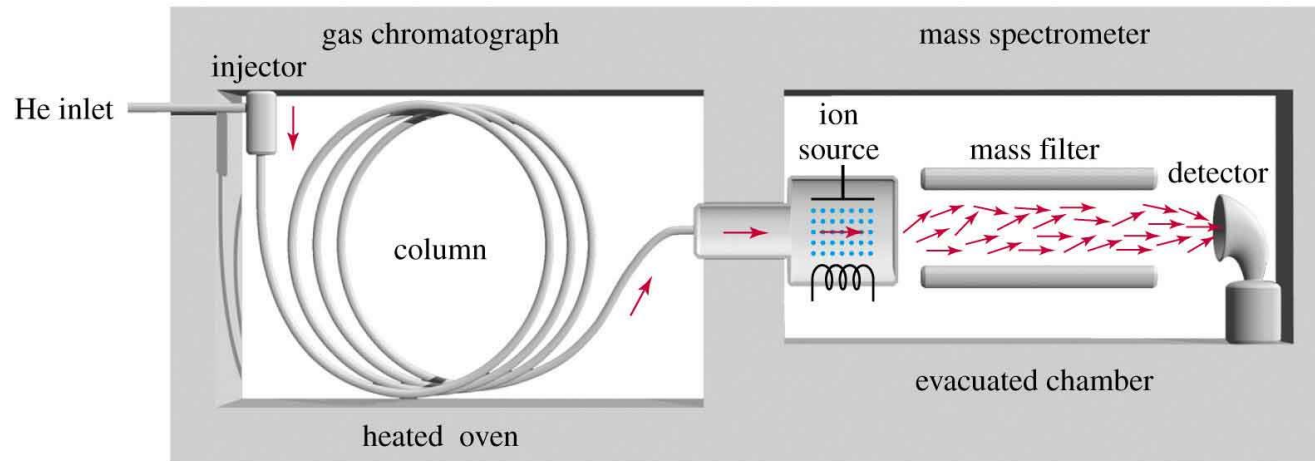
Pseudopurpurina

Análise de uma mistura de compostos em espectrometria de massas (sem separação cromatográfica)

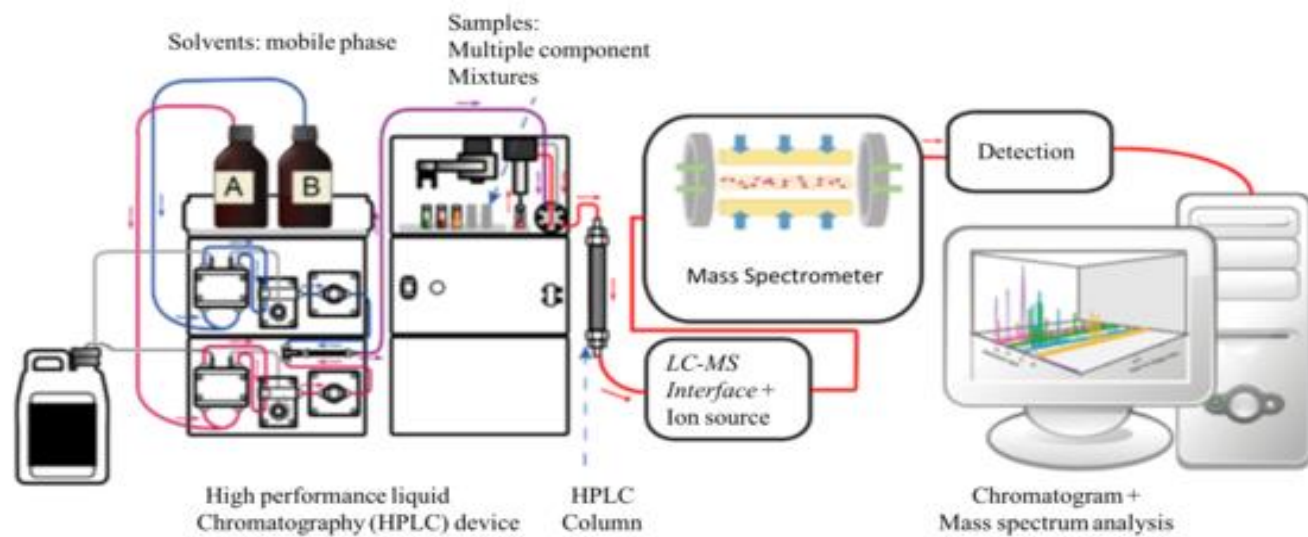


Espectrometria de massas com separação cromatográfica

GC-MS



HPLC-MS



Detection of Nepetalactone in the *Nepeta cataria* plant by thermal desorption GC/MS

Chromatogram from the analysis of 2.7 mg of a portion of the lead stem of the plant.

Fig. 1

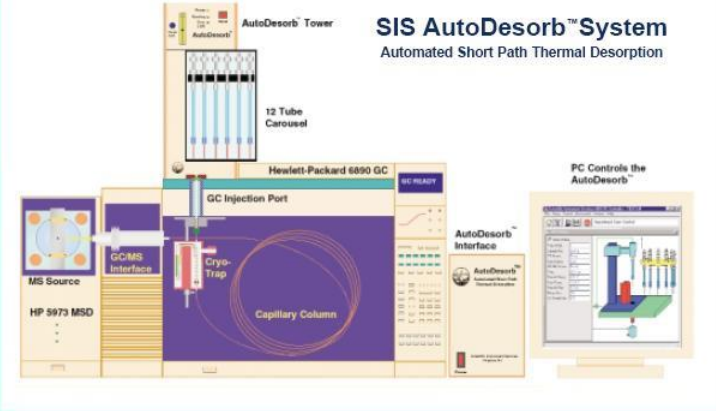
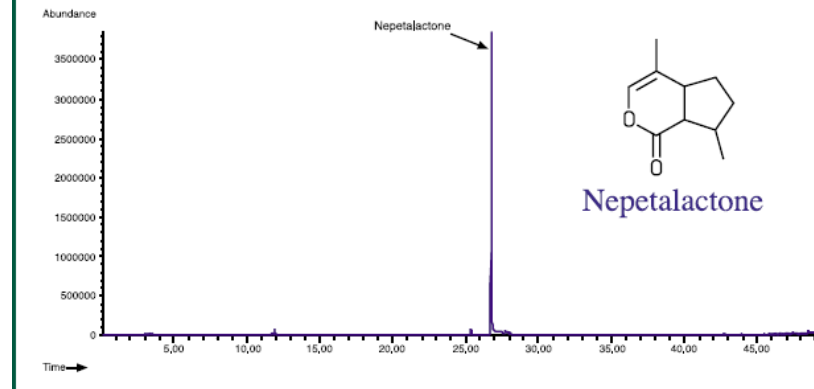


Fig. 2



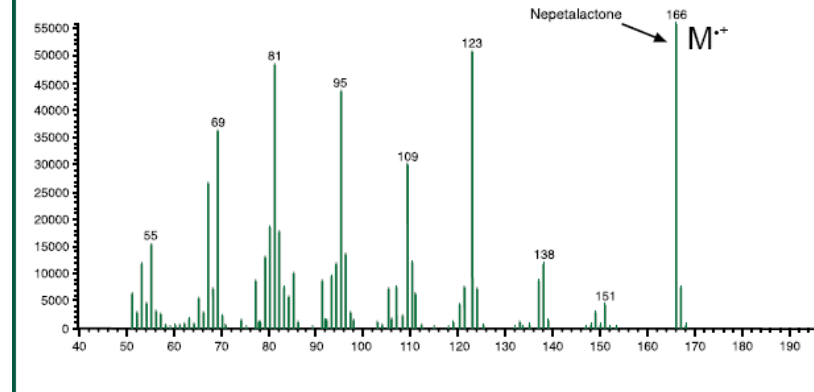
Mass spectrum generated from nepetalactone found in the lead stem.



Descrição

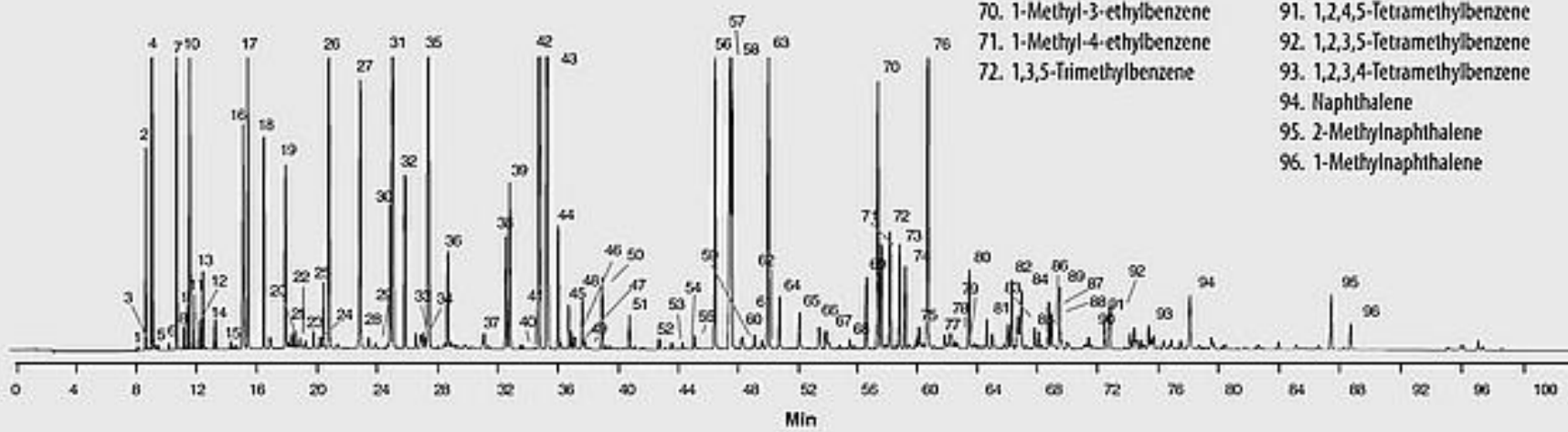
- Indicado para gatos;
- Alivia o stress para gatos muito ativos;
- Serve de estimulante para gatos muito quietinhos;
- É bom, faz bem, é saudável e faz seu gato se exercitar;

Fig. 3



GC Chromatogram of gasoline

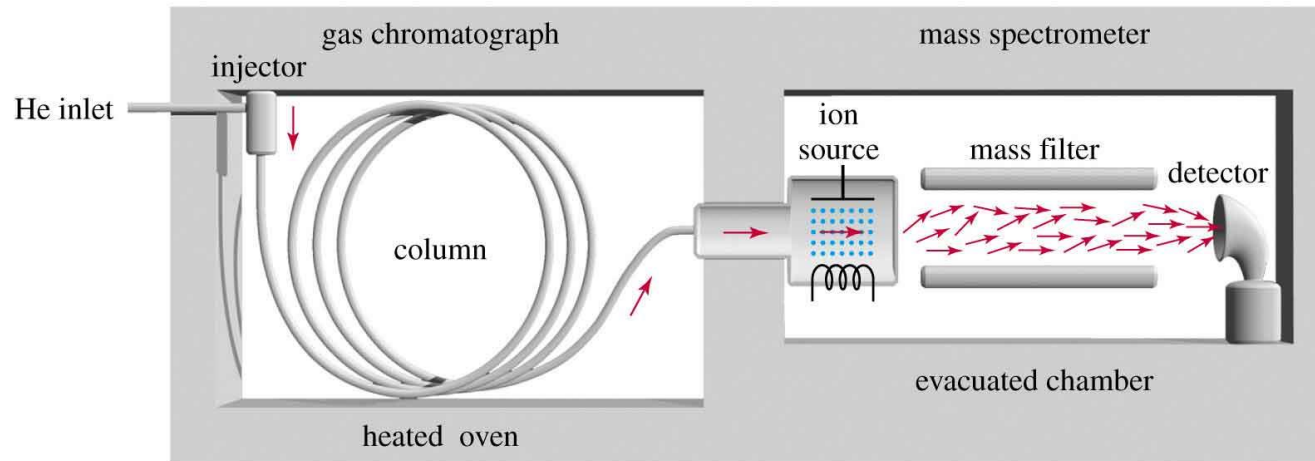
1. Propane	18. 3-Methylpentane	35. 2,2,4-Trimethylpentane	52. 2,2-Dimethylheptane	73. 3,3,4-Trimethylheptane
2. Isobutylene	19. Hexane	36. n-Heptane	53. 2,4-Dimethylheptanen	74. 1-Methyl-2-ethylbenzene
3. Isobutane	20. Unknown	37. 3-Ethylcyclopentane	54. Ethylcyclohexane	75. 3-Methylnonane
4. Butane	21. 3-Methylcyclopentene	38. 2,5-Dimethylhexane	55. 2,6-Dimethylheptanen	76. Unknown
5. cis-2-Butene	22. 3-Methyl-2-pentene	39. 2,4-Dimethylhexane	56. Ethylbenzene	77. Isobutylbenzene
6. 3-Methyl-1-Butene	23. cis-2-Hexene	40. 3,4-Dimethyl-1-hexenen	57. m-Xylene	78. sec-Butylbenzene
7. Isopentane	24. 3-Methyl-trans-2-pentene	41. 3,4-Dimethyl-1-hexene	58. p-Xylene	79. n-Decane
8. 1-Pentene	25. Methylcyclopentane	42. 2,3,4-Trimethylpentane	59. 4-Methyloctane	80. 1,2,3-Trimethylbenzene
9. 2-Methyl-1-Butene	26. 2,4-Dimethylpentane	43. Toluene	60. 2-Methyloctane	81. Indan
10. Pentane	27. Benzene	44. 2,3-Dimethylhexane	61. 3-Ethylheptane	82. 1,3-Diethylbenzene
11. trans-2-Pentene	28. 5-Methyl-1-hexene	45. 2-Methylheptane	62. 3-Methyloctane	83. 1,4-Diethylbenzene
12. cis-2-Pentene	29. Cyclohexane	46. 4-Methylheptane	63. o-Xylene	84. n-Butylbenzene
13. 2-Methyl-2-Butene	30. 2-Methylhexene	47. 3,4-Dimethylhexane	64. 1-Nonene	85. 1,3-Dimethyl-5-ethylbenzene
14. 2,2-Dimethylbutane	31. 2,3-Dimethylpentane	48. 3-Ethyl-3-methylpentane	65. n-Nonane	86. 2-Methylindane
15. Cyclopentene	32. 3-Methylhexane	49. 3-Methylheptane	66. Isopropylbenzene	87. 1,4-Dimethyl-2-ethylbenzene
16. 2,3-Dimethylbutane	33. 2-Methyl-1-hexene	50. 2-Methyl-1-heptene	67. 3,3,5-Trimethylheptane	88. 1,3-Dimethyl-4-ethylbenzene
17. 2-Methylpentane	34. 3,4-Dimethyl-trans-2-hexene	51. n-Octane	68. 2,4,5-Trimethylheptane	89. 1,2-Dimethyl-4-ethylbenzene
			69. n-Propylbenzene	90. Undecene-1
			70. 1-Methyl-3-ethylbenzene	91. 1,2,4,5-Tetramethylbenzene
			71. 1-Methyl-4-ethylbenzene	92. 1,2,3,5-Tetramethylbenzene
			72. 1,3,5-Trimethylbenzene	93. 1,2,3,4-Tetramethylbenzene
				94. Naphthalene
				95. 2-Methylnaphthalene
				96. 1-Methylnaphthalene



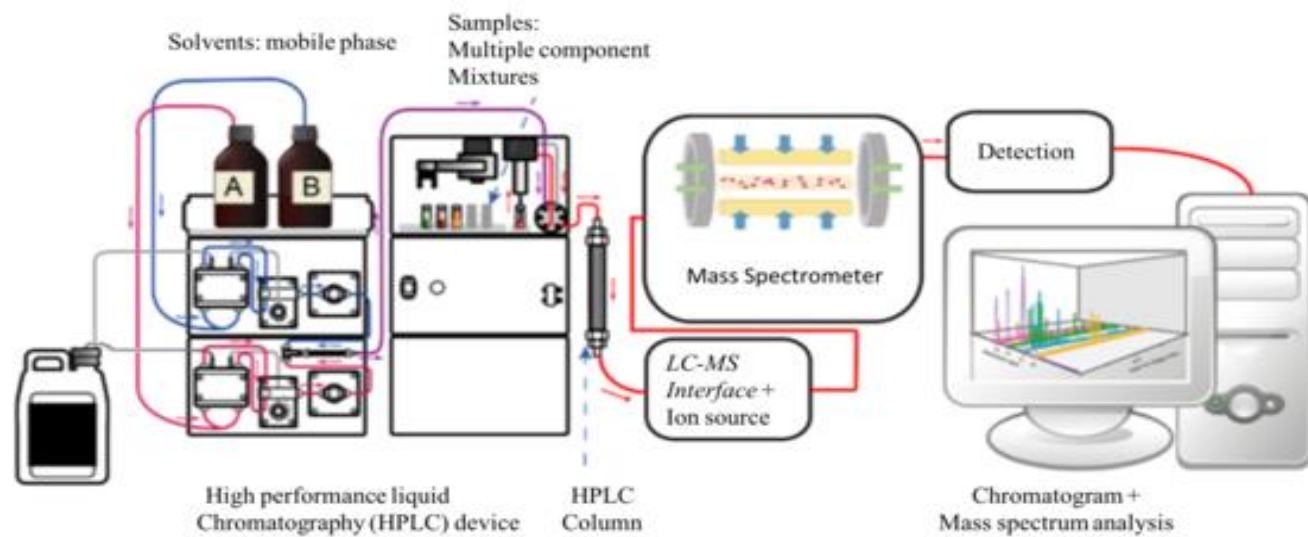
column: Petrocol DH, 100 m x 0.25 mm I.D., 0.50 µm (24160-U)

Espectrometria de massas com separação cromatográfica

GC-MS



HPLC-MS



GC/MS

Alkylsilyl derivatives
Eicosanoids
Essential oils
Esters
Perfumes
Terpenes
Waxes
Volatiles
Carotenoids
Flavonoids
Lipids

LC/MS

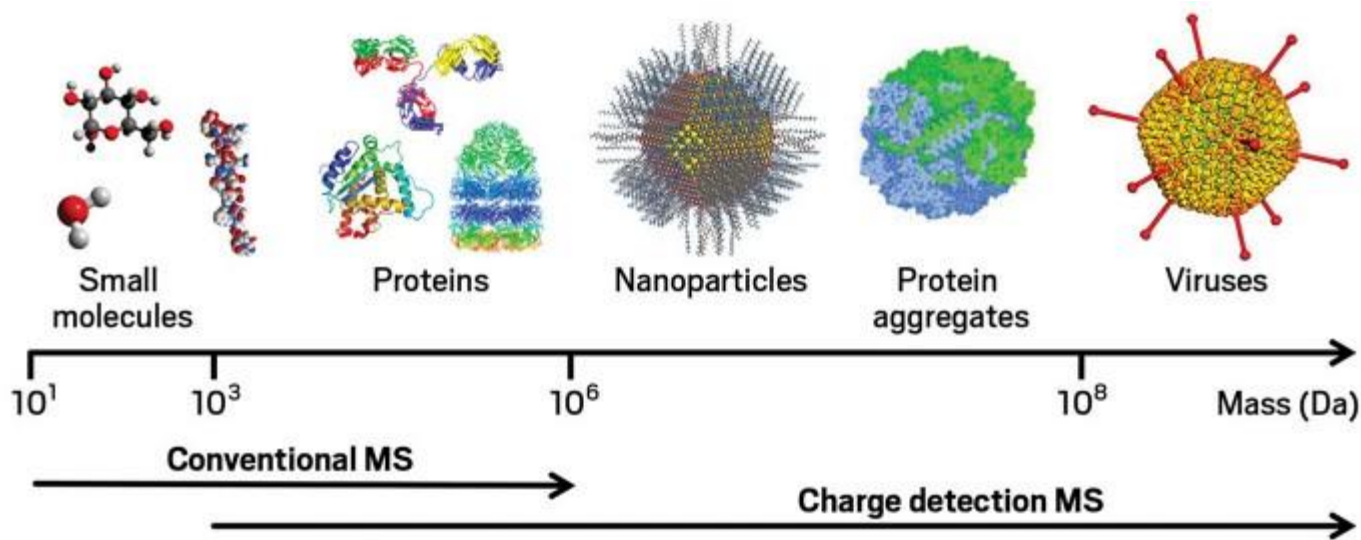
Organic Acids
Organic Amines
Nucleosides
Ionic Species
Nucleotides
Polyamines

overlap

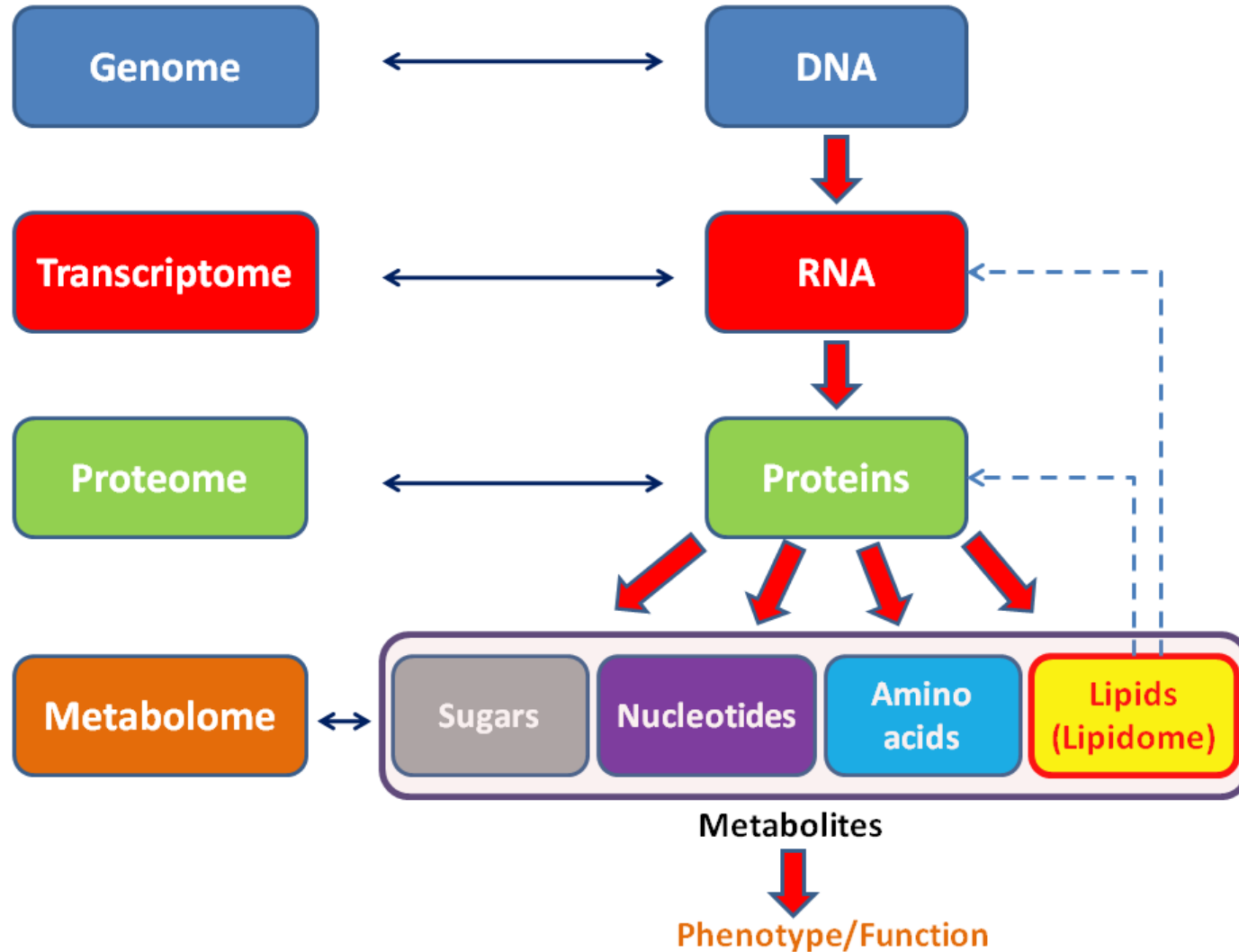
Less Polar

More Polar

Espectrometria de massas - aplicações



Omics age



Metabolômica: é o estudo sistemático e abrangente dos metabólitos em uma amostra biológica, buscando compreender a interação complexa entre genética, ambiente e fisiologia, e seu papel nas diferentes condições biológicas.

Busca no Scopus (metabolome; 17/05/2023):

27,131 document results

Subject area	^
<input type="checkbox"/> Biochemistry, Genetics and Molecular Biology	(14,533) >
<input type="checkbox"/> Medicine	(8,586) >
<input type="checkbox"/> Agricultural and Biological Sciences	(5,981) >
<input type="checkbox"/> Chemistry	(4,884) >
<input type="checkbox"/> Immunology and Microbiology	(3,021) >

Wishart, D. S., Feunang, Y. D., Guo, A. C., Lo, E. J., Marcu, A., Grant, J. R., Sajed, T., Johnson, D., Li, C., Sayeeda, Z., Assempour, N., lynkkaran, I., Liu, Y., Maclejewski, A., Gale, N., Wilson, A., Chin, L., Cummings, R., Le, D., Pon, A., Knox, C., Wilson, M., 2018. DrugBank 5.0: A major update to the DrugBank database for 2018. Nucleic Acids Research 46, D1074-D1082. **3697 citações**

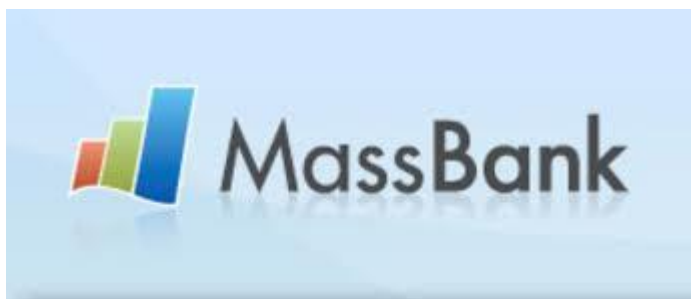
Banco de dados com espectrometria de massas

- 1. NIST/EPA/NIH Mass Spectral Library (NIST 20):** Contém espectros de massas e informações estruturais para milhares de compostos orgânicos, contém espectros de referência para GC/MS (por ionização de elétrons) e LC-MS/MS (por espectrometria de massa em tandem), bem como índices de retenção de fase gasosa para GC.
<https://chemdata.nist.gov/>
- 2. Wiley Registry of Mass Spectral Data:** É a maior coleção de espectros de massa de alta qualidade, incluindo Wiley Registry, KnowItAll Spectral Library, NIST e outras importantes coleções de banco de dados espectrais para MS. Essas bibliotecas podem ajudar à análises não direcionadas ou direcionadas. <https://sciencesolutions.wiley.com/mass-spectral-databases/>
- 3. Spectral Database for Organic Compounds (SDBS):** É uma base de dados que contém espectros de RMN (^1H e ^{13}C), IV, Raman, ESR e outras informações espectroscópicas para uma ampla variedade de compostos orgânicos (34600 compostos).
https://sdb.sdb.aist.go.jp/sdbs/cgi-bin/cre_index.cgi
- 4. MassBank:** É um banco de dados público que armazena espectros de massas adquiridos de uma variedade de técnicas, incluindo EI-MS. Contém dados de espectrometria de massas de compostos orgânicos e inorgânicos. <https://massbank.eu/MassBank/>

Banco de dados com espectrometria de massas



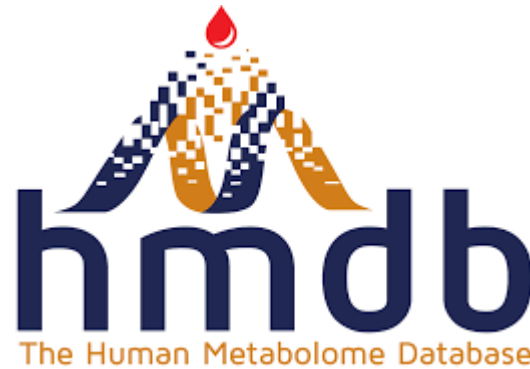
<https://gnps.ucsd.edu/ProteoSAFe/static/gnps-splash.jsp>



<https://massbank.eu/MassBank/>

- 1) chemical data, 2) clinical data, and
 - 3) molecular biology/biochemistry data.

The database contains 220,945 metabolite entries including both water-soluble and lipid soluble metabolites. Additionally, 8,610 protein sequences (enzymes and transporters) are linked to these metabolite entries.

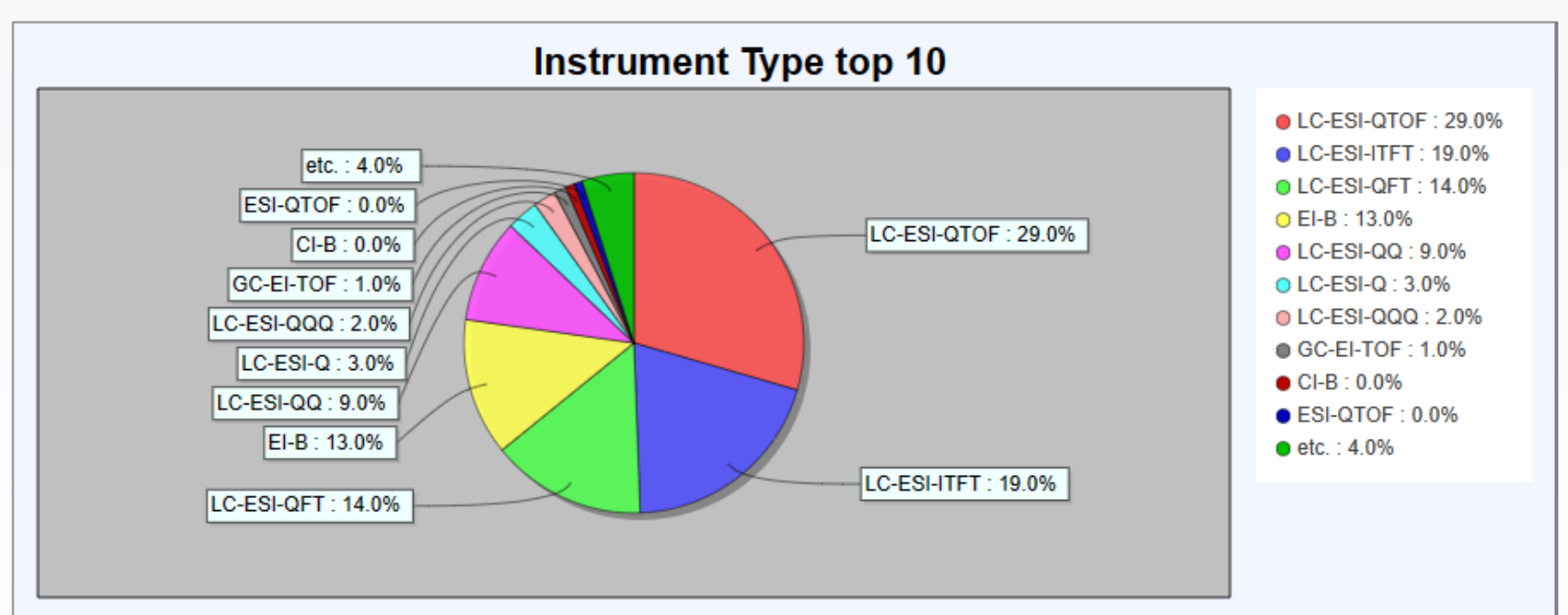


860,000 molecular standards

https://metlin.scripps.edu/landing_page.php?pgcontent=mainPage



<https://massbank.eu/MassBank/>



Espectro de massas do metano

Formula: CH₄

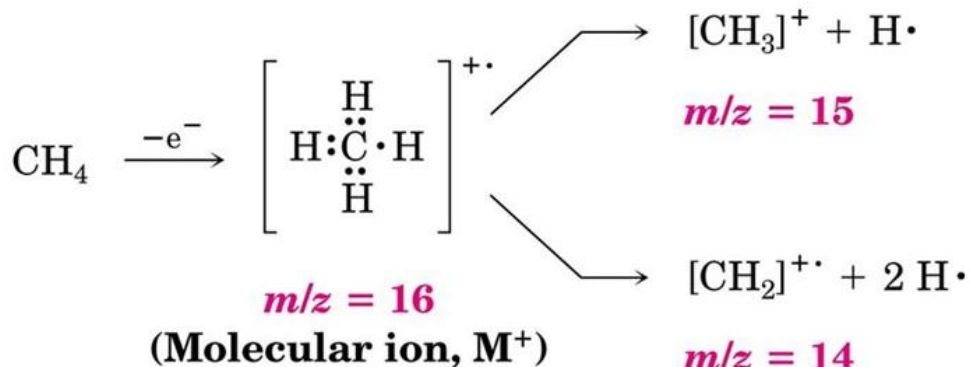
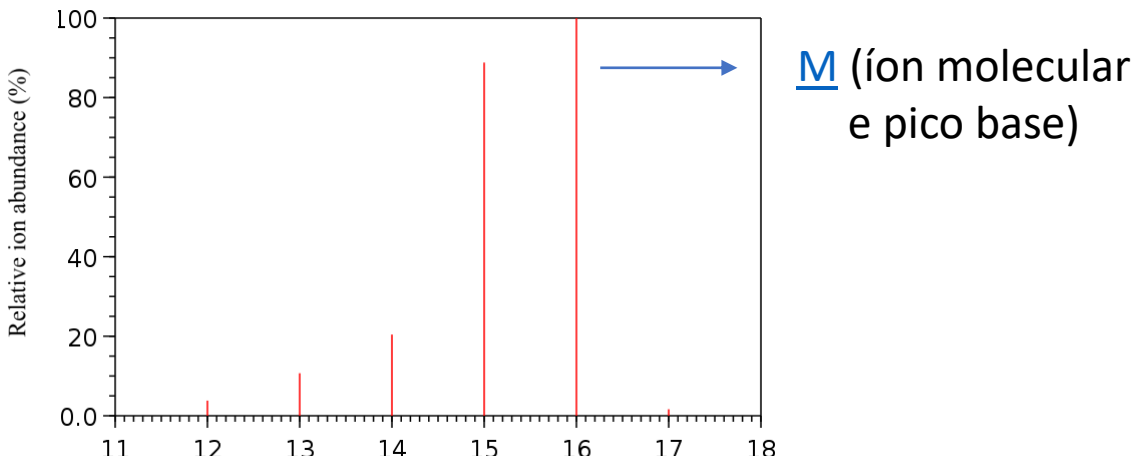
Low resolution: 16 Da (electron impact)

Molecular weight in high resolution mass spectrometry:
16.04246 (average)

12.0107+ 4 (1.00794)

Q-ToF: quadrupole-time of flight (alta resolução)

Espectro de massas do metano (baixa resolução)

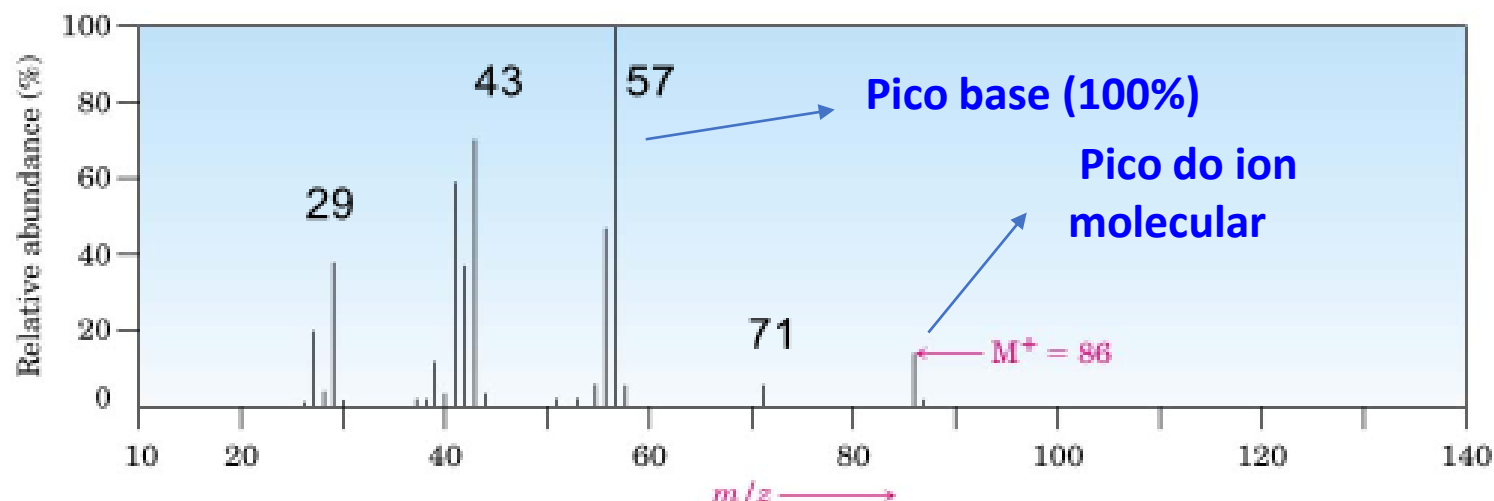
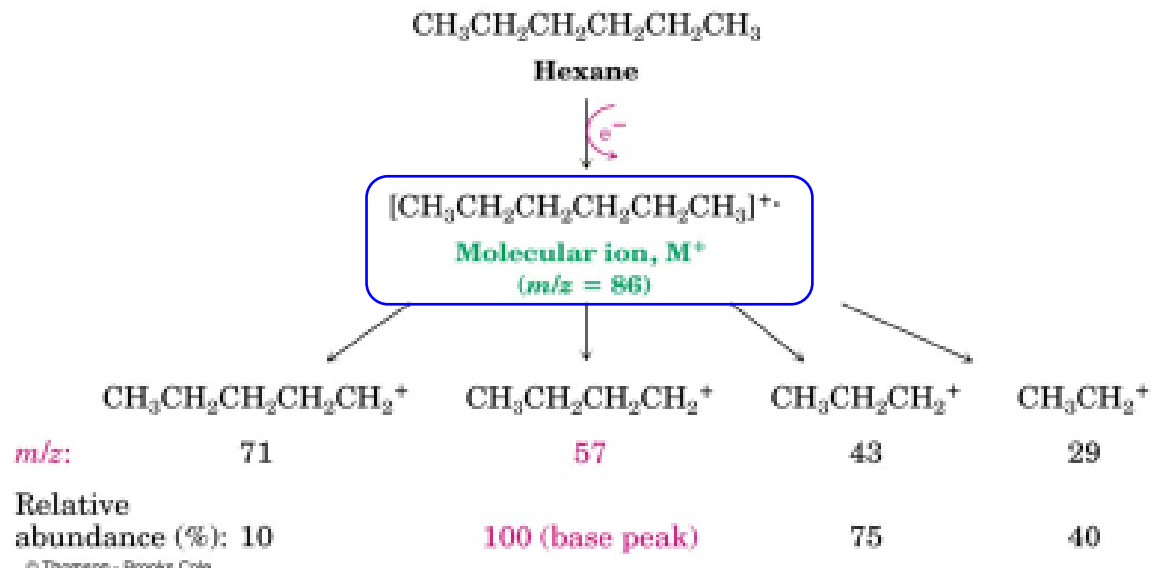


O pico em 17 refere-se
a contribuição dos isótopos ${}^2\text{H}$ e ${}^{13}\text{C}$.

M (ión molecular
e pico base)

<u>m/z</u>	<u>Relative abundance (%)</u>	<u>Assignment</u>
12	< 0.5	M+2
13	~3	
14	~20	M+1
15	~85	M
16	100.0	Molecular ion; and base peak
17	~1.1	M - H
18	< 0.5	M - 2H
19	~3.0	M - 3H
20	~9.2	M - 4H

Espectro de massas do hexano

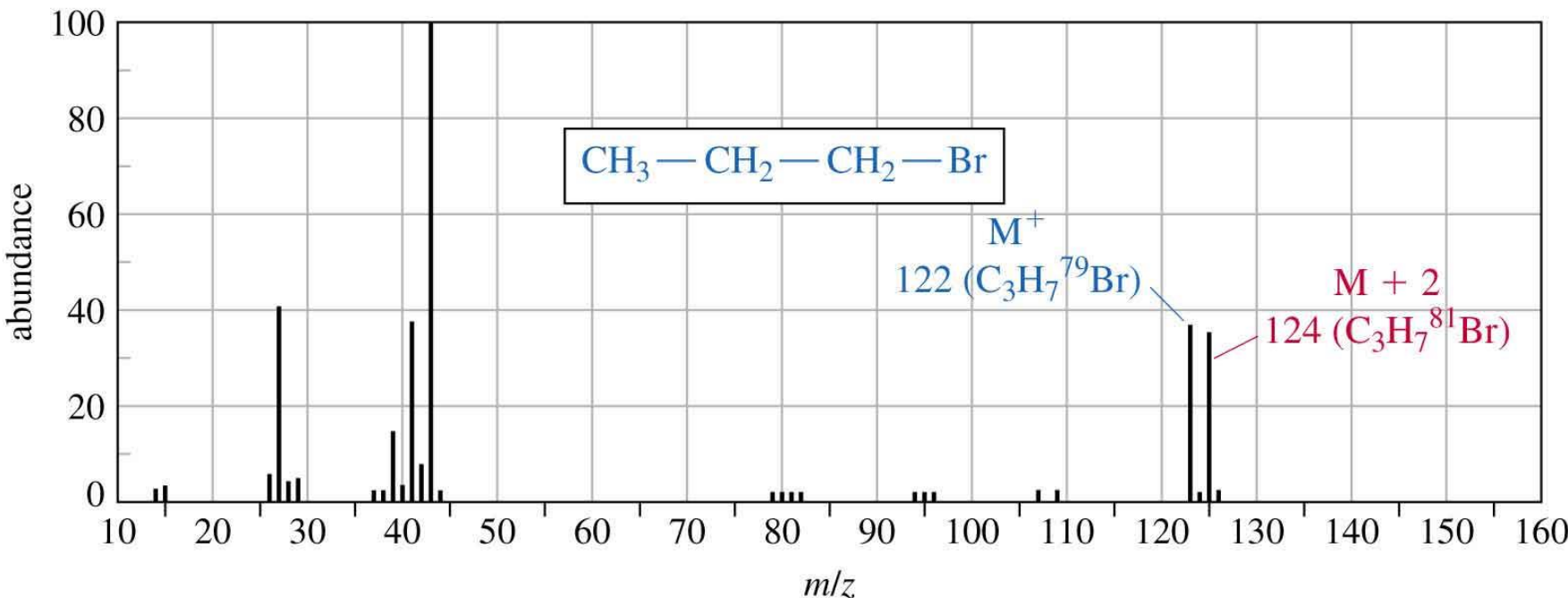


Uso de ions moleculares M+1, M+2 e etc (resultantes de abundancias isotópicas naturais)

M contributors		M+1 contributors		M+2 contributors	
Isotope	Natural Abundance	Isotope	Natural Abundance	Isotope	Natural Abundance
¹ H	99.9855%	² H	0.015%	³ H	ppm
¹² C	98.893	¹³ C	1.107	¹⁴ C	ppm
¹⁴ N	99.634	¹⁵ N	0.366		
¹⁶ O	99.759	¹⁷ O	0.037	¹⁸ O	0.204
¹⁹ F	100.0				
³² S	95.0	³³ S	0.76	³⁴ S	4.22
³⁵ Cl	75.77			³⁷ Cl	24.23
⁷⁹ Br	50.69			⁸¹ Br	49.31
¹²⁷ I	100.0				

Mass Spectrum of propyl bromide (brometo de propila)

Element		M+		M+1		M+2
hydrogen	${}_1\text{H}^1$	100	${}_1\text{H}^2$	0.016		
carbon	${}_6\text{C}^{12}$	100	${}_6\text{C}^{13}$	1.08		
nitrogen	${}_7\text{N}^{14}$	100	${}_7\text{N}^{15}$	0.38		
oxygen	${}_8\text{O}^{16}$	100	${}_8\text{O}^{17}$	0.04	${}_8\text{O}^{18}$	0.20
sulfur	${}_{16}\text{S}^{32}$	100	${}_{16}\text{S}^{32}$	0.78	${}_{16}\text{S}^{32}$	4.40
chlorine	${}_{17}\text{Cl}^{35}$	100			${}_{17}\text{Cl}^{37}$	32.5
bromine	${}_{35}\text{Br}^{79}$	100			${}_{35}\text{Br}^{81}$	98.0

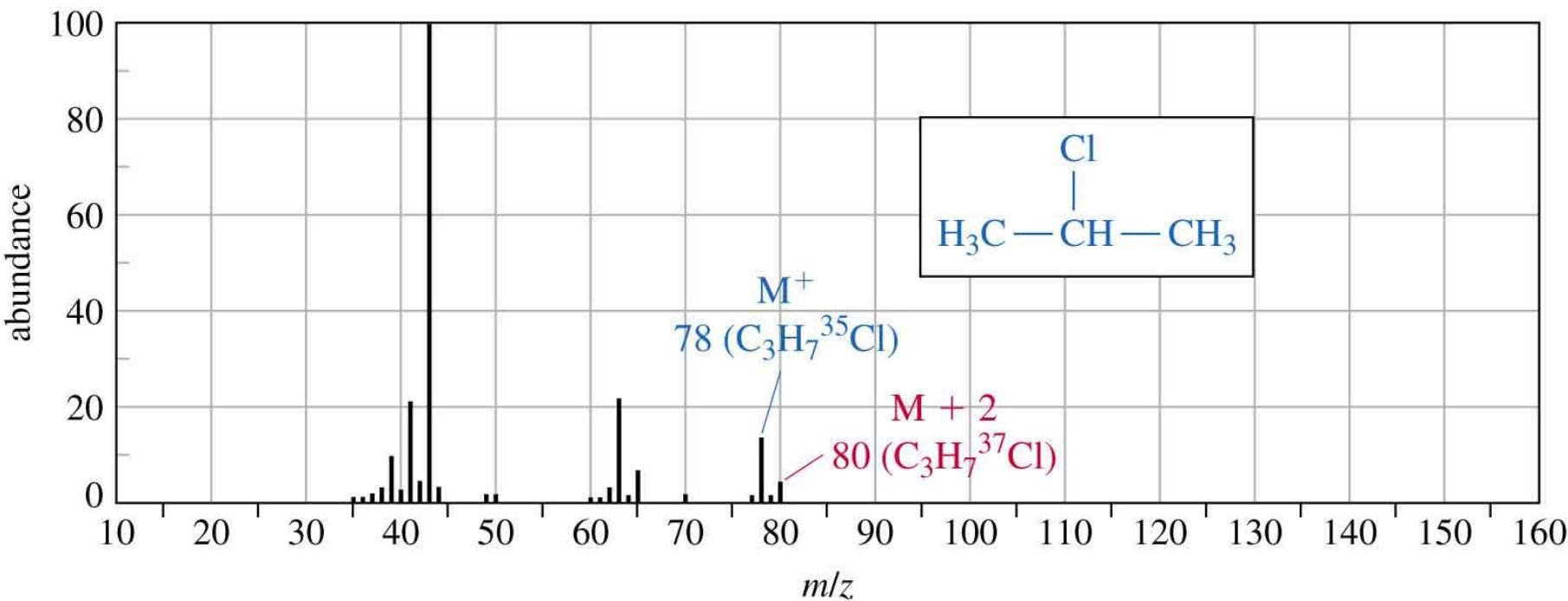


Devido a abundância natural do bromo ser de aproximadamente 1:1 (${}^{79}\text{Br}:{}^{81}\text{Br}$), a presença de $\text{M}+2$ caracteriza a presença de bromo.

Pelo mesmo princípio, a presença de enxofre [${}^{32}\text{S}$ (95.02%), ${}^{33}\text{S}$ (0.75%), ${}^{34}\text{S}$ (4.21%), and ${}^{36}\text{S}$ (0.02%)] pode ser diagnosticada.

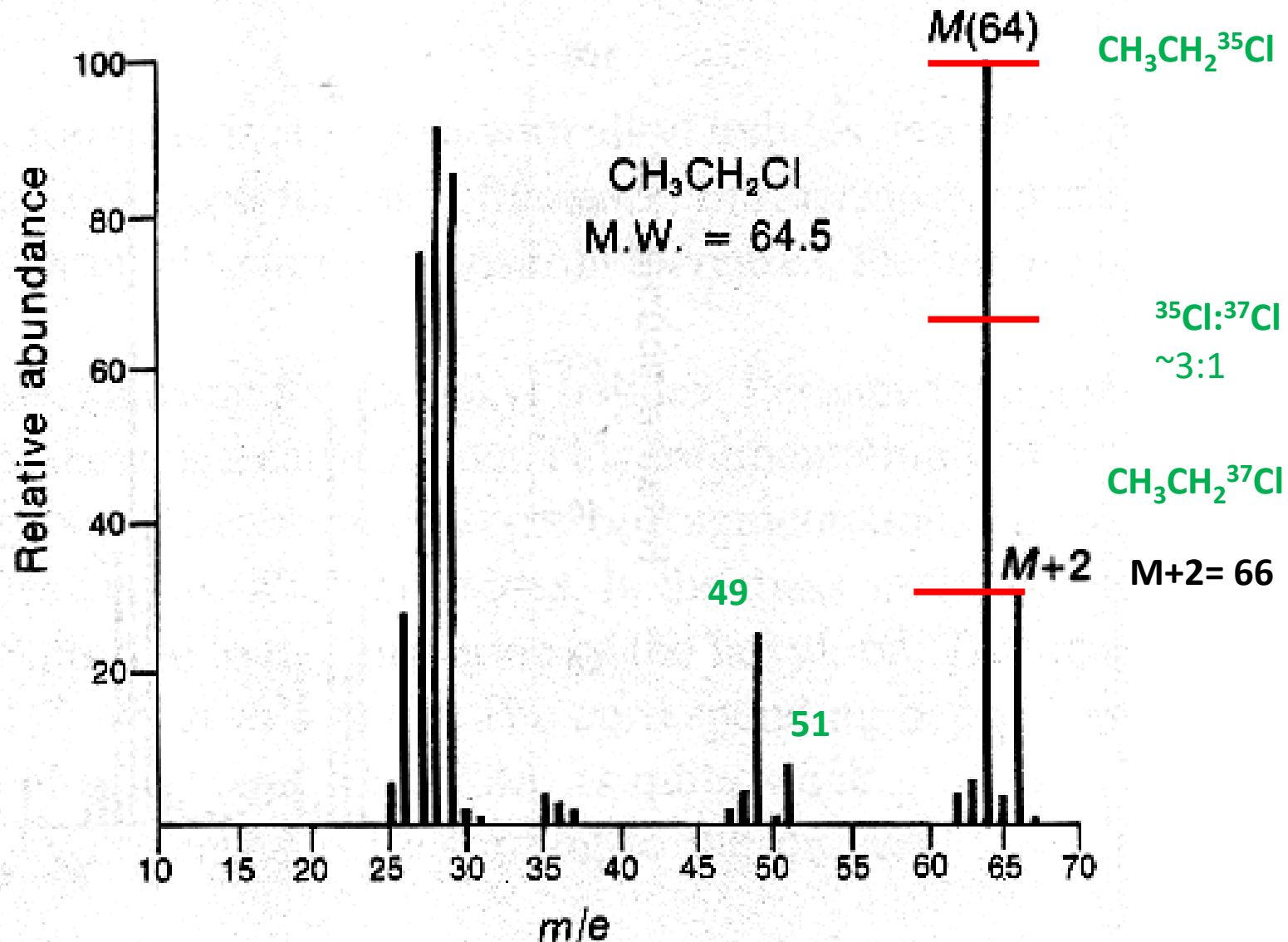
Mass Spectrum with Chlorine (isopropyl chloride)

Element		M+		M+1		M+2
hydrogen	${}_1\text{H}^1$	100	${}_1\text{H}^2$	0.016		
carbon	${}_6\text{C}^{12}$	100	${}_6\text{C}^{13}$	1.08		
nitrogen	${}_7\text{N}^{14}$	100	${}_7\text{N}^{15}$	0.38		
oxygen	${}_8\text{O}^{16}$	100	${}_8\text{O}^{17}$	0.04	${}_8\text{O}^{18}$	0.20
sulfur	${}_16\text{S}^{32}$	100	${}_16\text{S}^{32}$	0.78	${}_16\text{S}^{32}$	4.40
chlorine	${}_17\text{Cl}^{35}$	100			${}_17\text{Cl}^{37}$	32.5
bromine	${}_35\text{Br}^{79}$	100			${}_35\text{Br}^{81}$	98.0

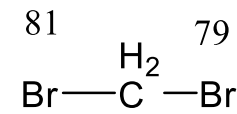
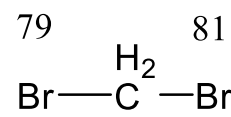
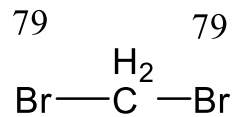
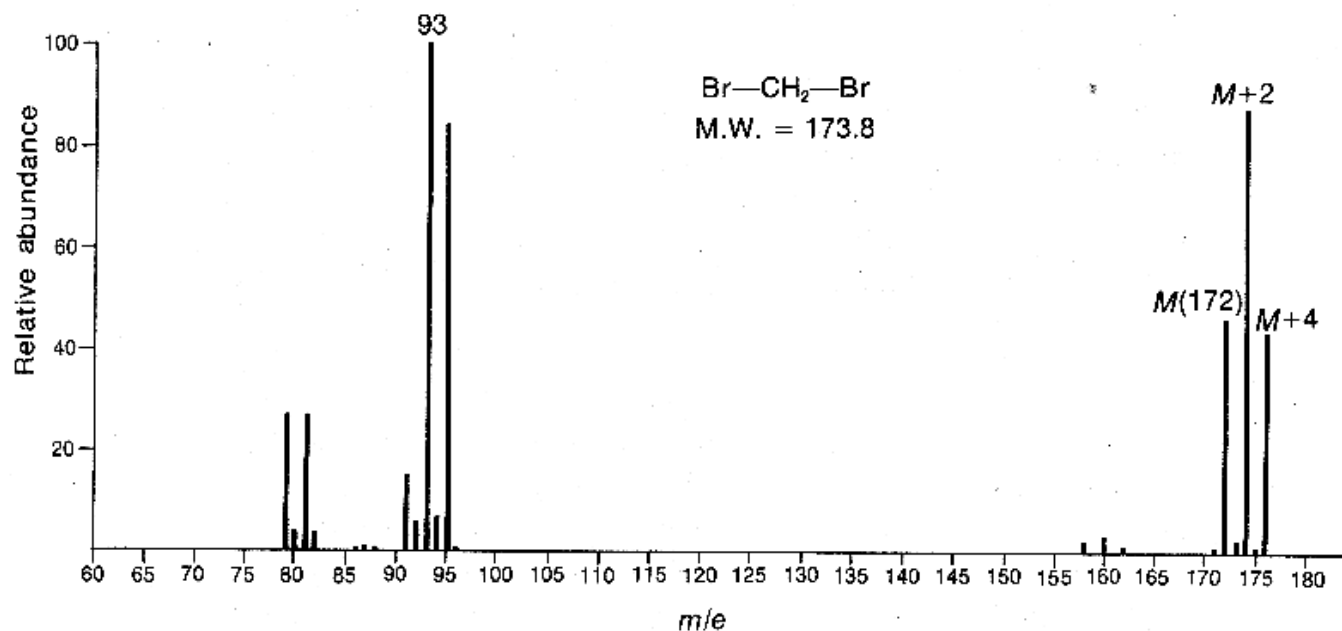


O íon molecular m/z 78 é acompanhada pelo íon M+2 m/z 80 indicativa da presença de ^{37}Cl . A proporção (vide Tabela) de ~3:1 constitui-se numa diagnose para a presença de cloro.

Espectro de massas do cloreto de etila



Espectro de massas do dibromometano (Uso da abundância isotópica de ^{79}Br + ^{81}Br)



	172	174	176
intensidades	1	2	1

Molecular Weight Determination

Compounds with nominal mass 28

Isotope Clusters

	M	M+1	M+2
CO	100%	1.12	0.2
N ₂	100%	0.76	0.00
C ₂ H ₄	100%	2.23	0.01

Resolução em espectrometria de massas

Determinação precisa de fórmulas moleculares

Uma substância que possui MM = 60 (massa nominal) poderia ser:

$\text{C}_3\text{H}_8\text{O}$	$\text{C}_2\text{H}_8\text{N}_2$	$\text{C}_2\text{H}_4\text{O}_2$	$\text{CH}_4\text{N}_2\text{O}$
--------------------------------	----------------------------------	----------------------------------	---------------------------------

Determinação de massas moleculares e resolução em espectrometria de massas

- Resolução capaz de distinguir íons com massas diferentes

$$R = \frac{m}{\Delta m}$$

Massas exatas:

C ₃ H ₈ O	C ₂ H ₈ N ₂	C ₂ H ₄ O ₂	CH ₄ N ₂ O
60,05754	60,06884	60,02112	60,03242

0,0113

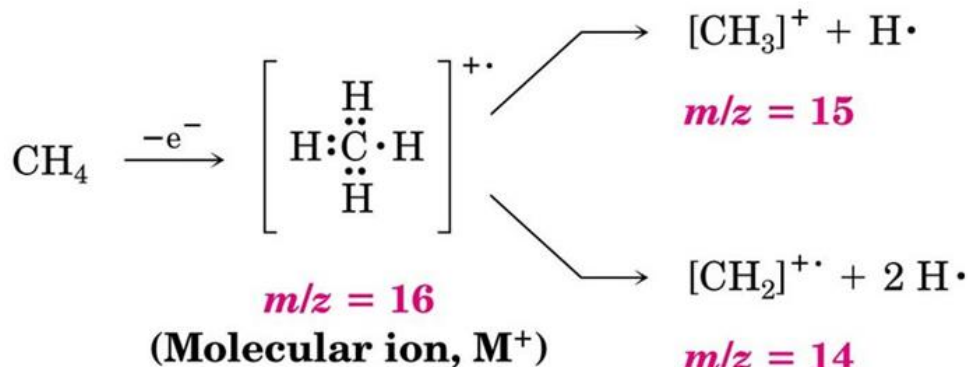
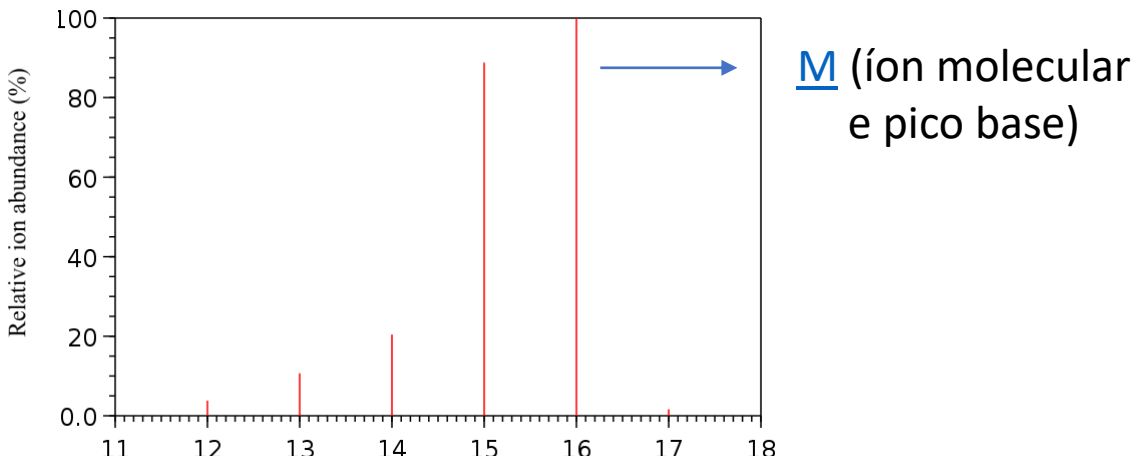
0,0113

- Resolução necessária para distinguir estas espécies:
considerar os íons com a menor diferença de massas,

$$\Delta m = 60,03242 - 60,02112 = 0,0113$$

$$R = \frac{60}{0,0113} = 5310$$

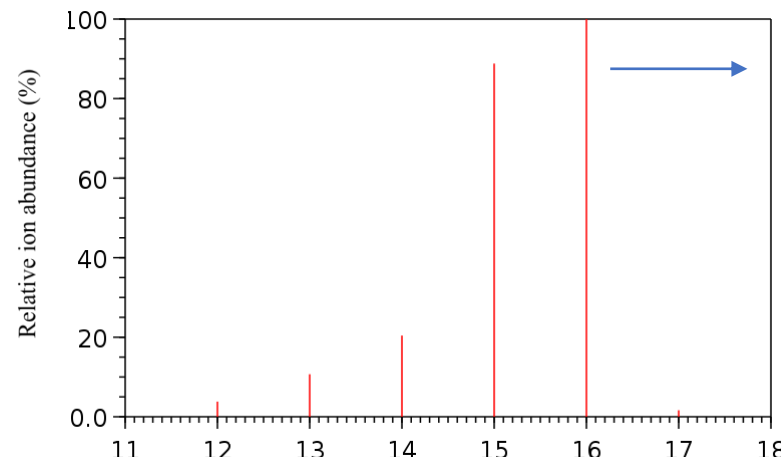
Espectro de massas do metano (baixa resolução)



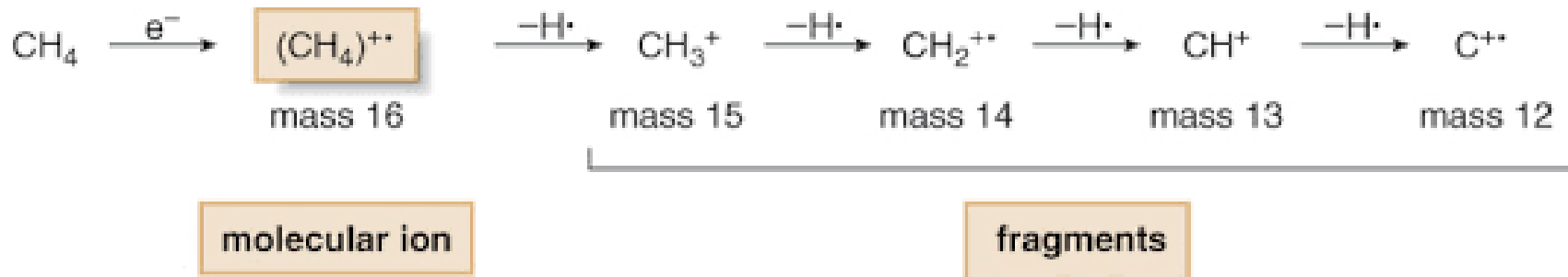
<u>m/z</u>	<u>Relative abundance (%)</u>	<u>Assignment</u>
18	< 0.5	<u>M+2</u> Molecular ion
17	1.1	<u>M+1</u> Molecular ion
16	100.0	<u>M</u> Molecular ion; base peak
15	85.0	<u>M - H</u> Fragment
14	9.2	<u>M - 2H</u> Fragment
13	3.0	<u>M - 3H</u> Fragment
12	1.0	<u>M - 4H</u> Fragment

O pico em 17 refere-se a contribuição dos isótopos ${}^2\text{H}$ e ${}^{13}\text{C}$.

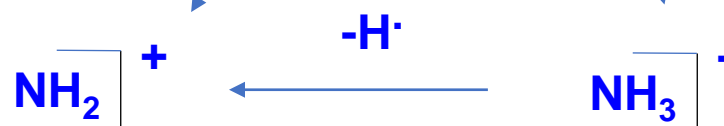
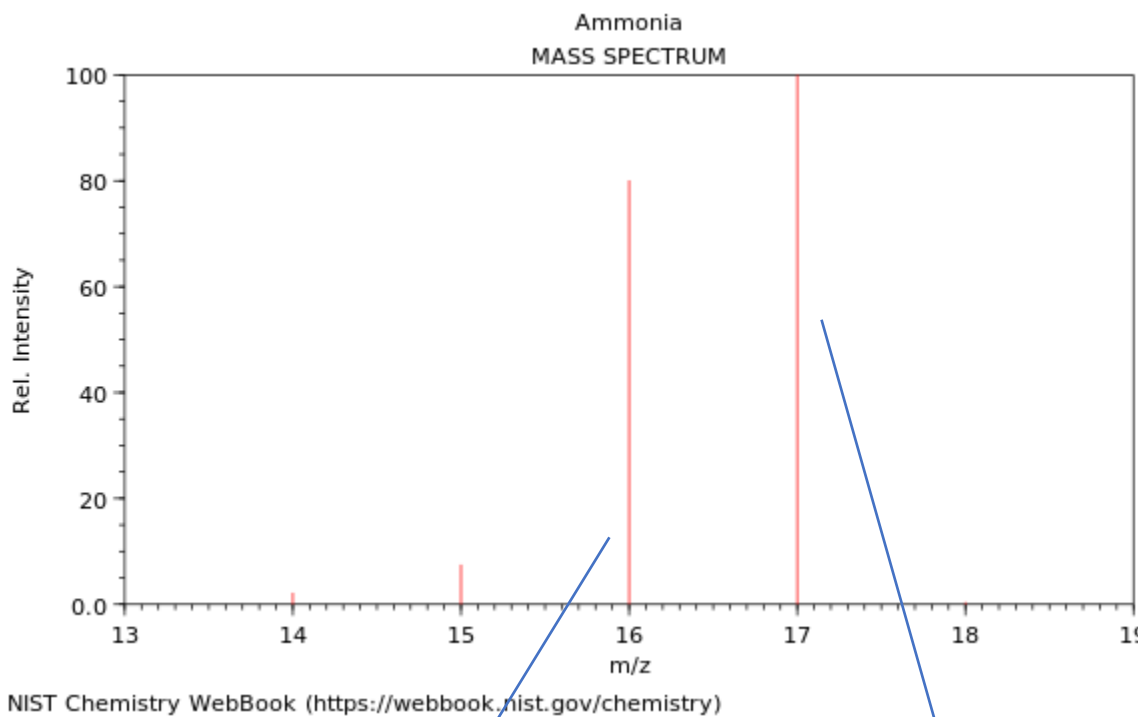
Espectro de massas do metano (baixa resolução)



M (ión molecular
e pico base)



Espectro de massas da amônia (baixa resolução)



m/z 16
Cátion par

m/z 17
Íon molecular
Cátion radicalar ímpar
(regra do Nitrogênio)

Contrário ao que se observa com
o caso do metano.

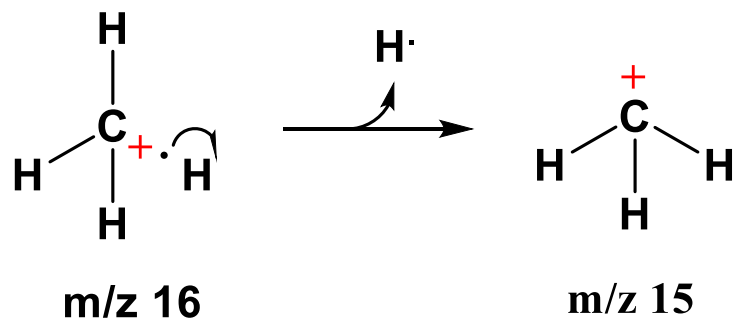
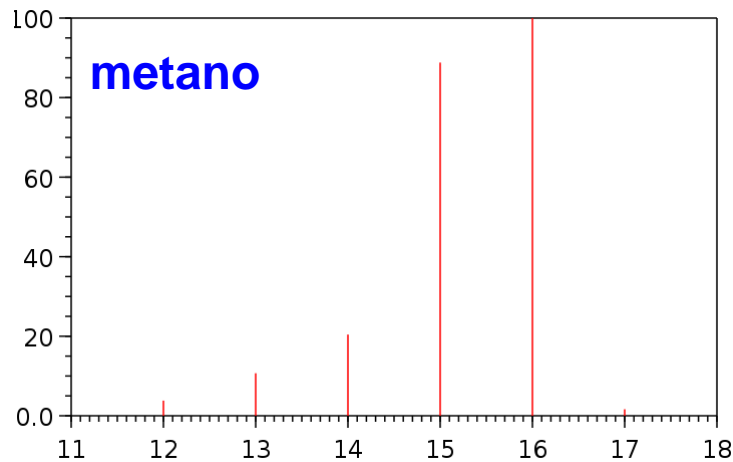
A regra do nitrogênio

Um composto que contém um número ímpar de átomos de N tem um íon molecular ímpar.

Símbolo: N

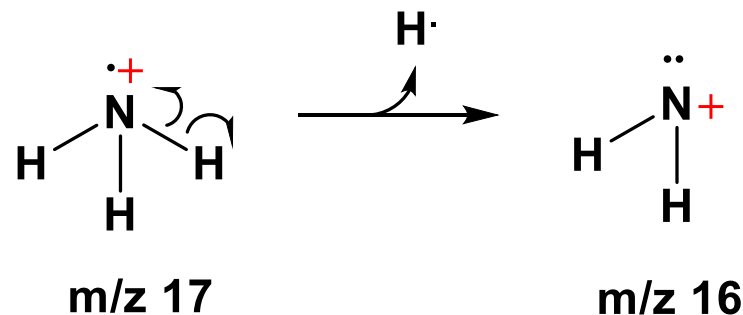
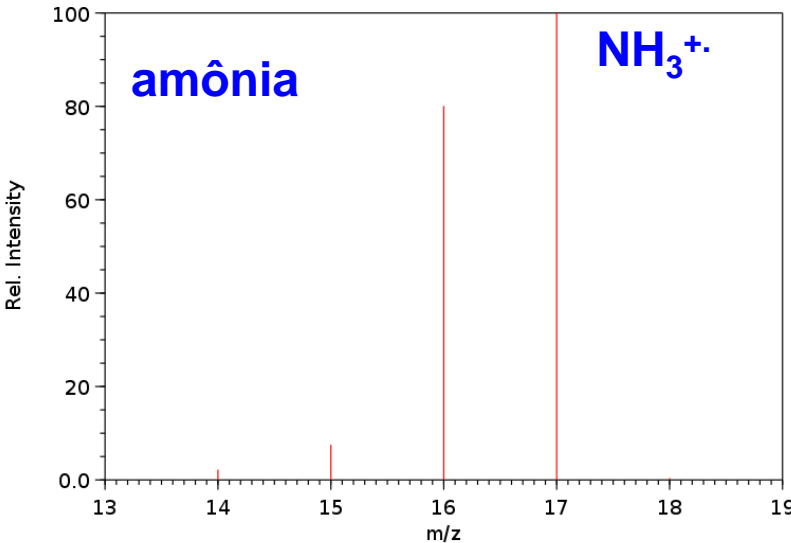
Massa atômica: 14,0067 Da

Regra do nitrogênio: Metano versus amônia



Íon molecular
(cátion radicalar)
MM 16 (par)

O carbono é tetravalente



Íon molecular
(cátion radicalar)
MM 17 (ímpar)

cátion m/z 16 (par)

O nitrogênio é trivalente

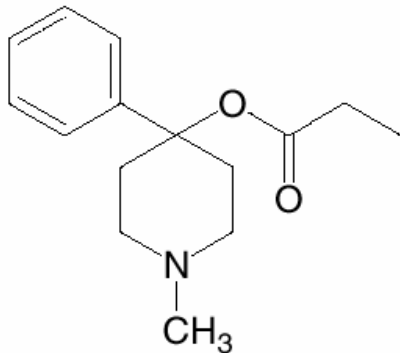
Regra do nitrogênio

Ions moleculares

Number of Nitrogens	Examples	M^{+} at m/z
0	methane, CH_4	16
0	acetone, $\text{C}_3\text{H}_6\text{O}$	58
0	chloroform, CHCl_3	118
0	[60]fullerene, C_{60}	720
1	ammonia, NH_3	17
1	acetonitrile, $\text{C}_2\text{H}_3\text{N}$	41
1	pyridine, $\text{C}_5\text{H}_5\text{N}$	79
1	<i>N</i> -ethyl- <i>N</i> -methyl-propanamine, $\text{C}_6\text{H}_{15}\text{N}$	101
2	urea, $\text{CH}_4\text{N}_2\text{O}$	60
2	pyridazine, $\text{C}_4\text{H}_4\text{N}_2$	80
3	triazole, $\text{C}_2\text{H}_3\text{N}_3$	69
3	hexamethylphosphoric triamide, HMPTA, $\text{C}_6\text{H}_{18}\text{N}_3\text{OP}$	179

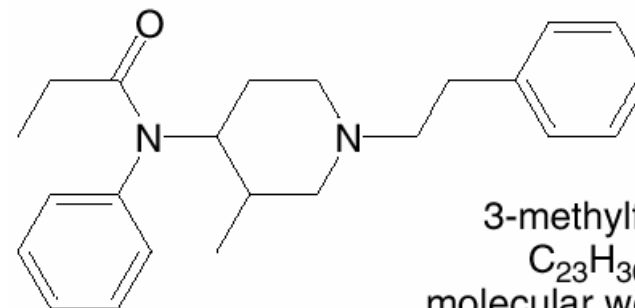
Regra do Nitrogênio para determinação da fórmula molecular

- Hidrocarbonetos como metano (CH_4) e hexano (C_6H_{14}), bem como os compostos que contêm somente átomos de C, H e O, sempre possuem os íons moleculares com valor **pares**.
- Um íon molecular **ímpar** indica a presença de **número de átomos de nitrogênio ímpares**.



MPPP
(1-methyl-4-phenyl-4-
propionoxypiperidine)
 $\text{C}_{15}\text{H}_{21}\text{NO}_2$
molecular weight = 247
1 N

Medicamento analgésico opioide
desenvolvido na década de 1940.



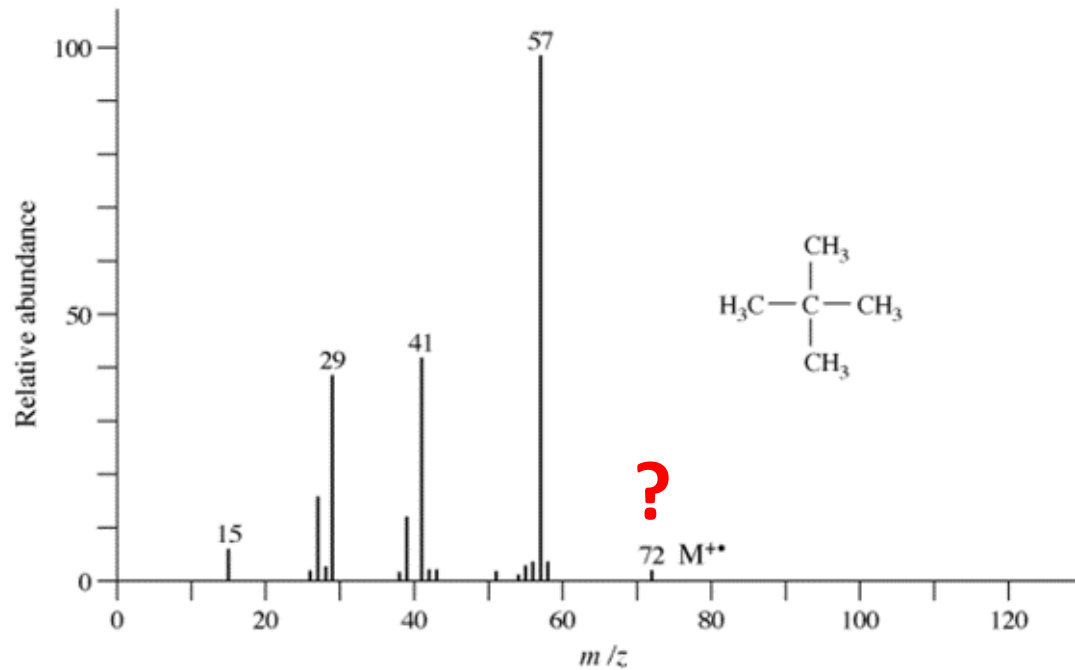
3-methylfentanyl
 $\text{C}_{23}\text{H}_{30}\text{N}_2\text{O}$
molecular weight = 350
2 N

Um dos opioides mais potentes (entre 400
e 6000 vezes mais potente que a morfina)

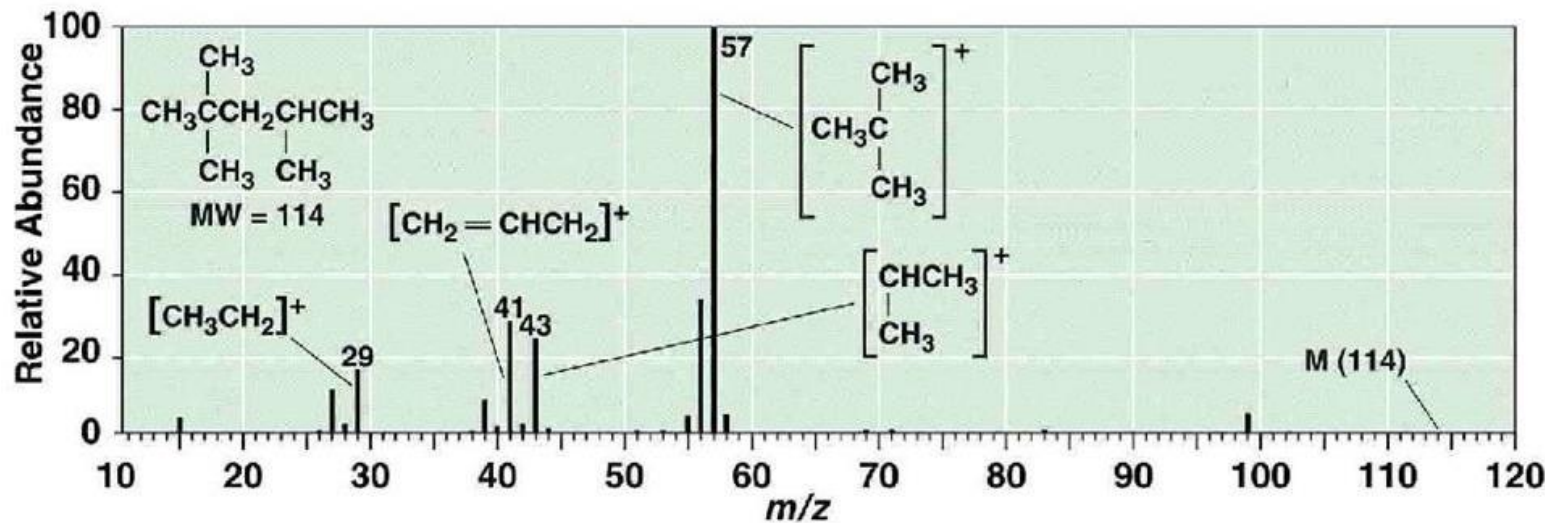
A regra do nitrogênio é uma ferramenta auxiliar e complementar a outras técnicas de análise estrutural, como a espectroscopia no IV e a RMN de ^1H e ^{13}C

Dúvidas em observar o íon molecular?

Espectro de Massas do 2,2-Dimetil-propano



Espectro de massas do 2,2,4-trimetilpentano (MM 114 Da)



Alcanos ramificados possuem M^+ de intensidade reduzida ou não são observados

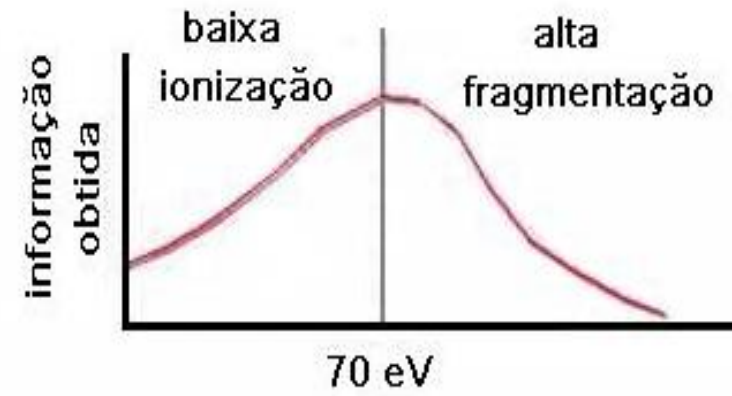
Como ocorre a ionização por EI?

- Energia < 70 eV:

Número de íons produzidos é pequeno

- Energia > 70 eV:

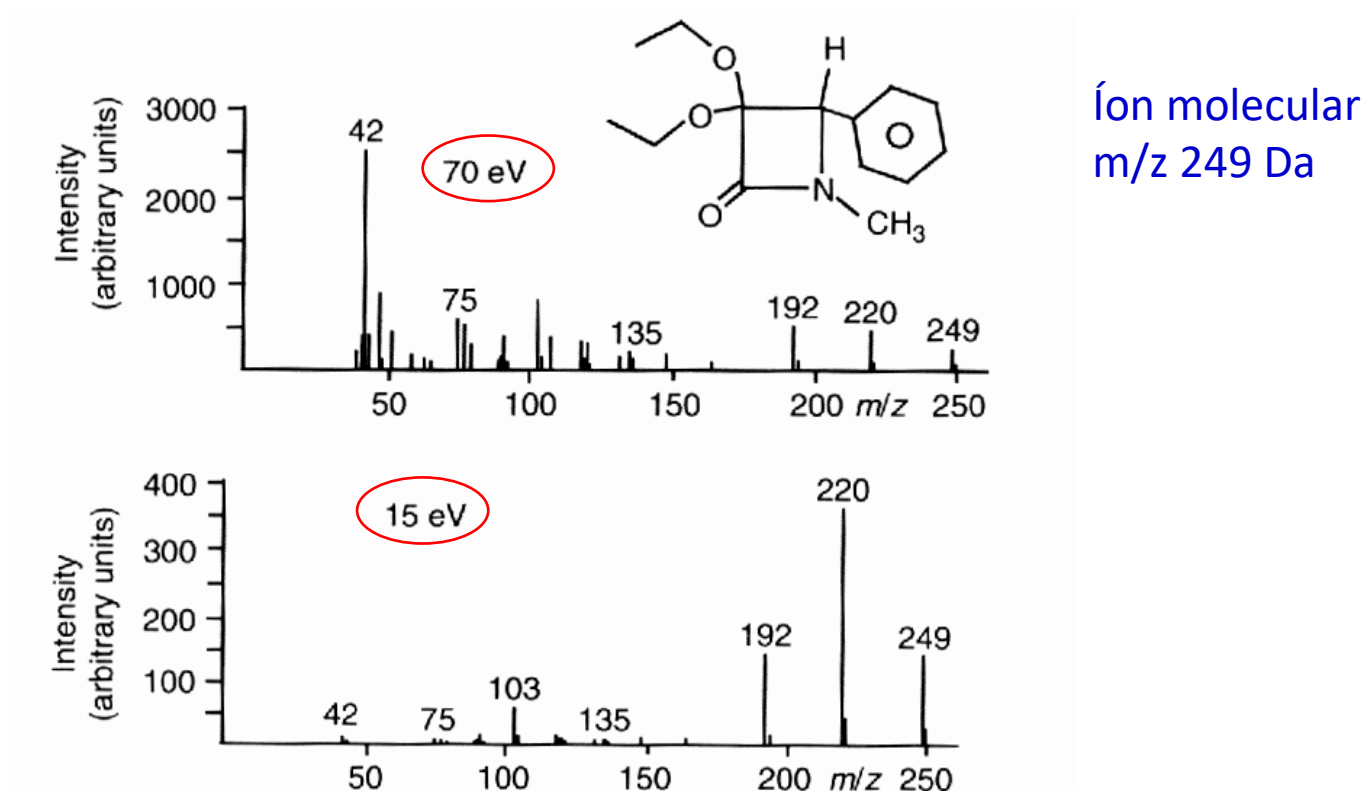
Alta fragmentação
(pouco informativa)



Energias de ionização (em eV)

H ₂ CO	CH ₃ CHO	(CH ₃) ₂ CO	HCOOH	CH ₃ COOH
10.88	10.20	9.66	11.51	10.82
HCONH ₂	CH ₃ CONH ₂	HCONHMe	HCONMe ₂	
10.32	9.96	10.05	9.68	

Espectros de massas de uma β -lactama a duas energias eletrônicas diferentes: maior fragmentação a 70 eV

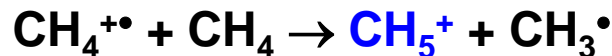


Íon molecular
m/z 249 Da

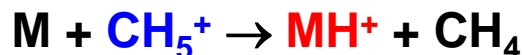
Ionização química

Método mais suave com menor fragmentação

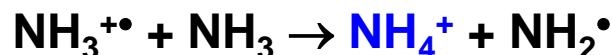
- Ionização produzida por uma reação química provocada por um gás ionizado.
- Gás reagente, p.ex. CH_4



- CH_5^+ é um ácido de Brønsted muito forte em fase gasosa: leva a ionização suave com formação de MH^+ e fragmentos eventuais



- Outros gases: isobutano, C_4H_{10} , NH_3



Reações de produção de íons em EM

Impacto de elétrons

Remoção de elétrons

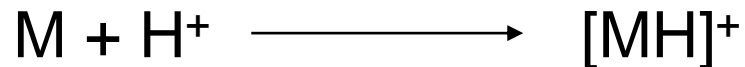


Captura de elétrons

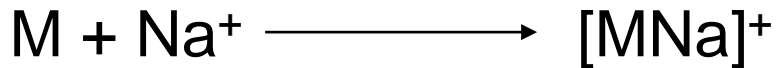


Electrospray

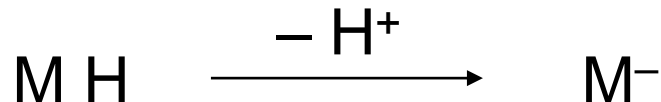
Protonação



Cationização

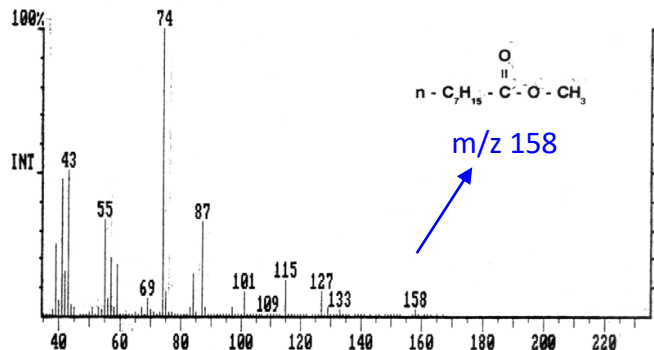


Desprotonação



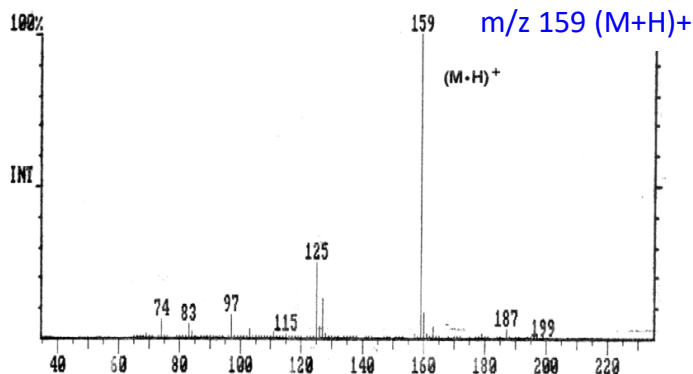
Comparação entre Ionização eletrônica e ionização química

Ion Trap Electron Ionization Mass Spectrum of Methyl Octanoate



Ionização eletrônica

Methane Chemical Ionization Mass Spectrum of Methyl Octanoate

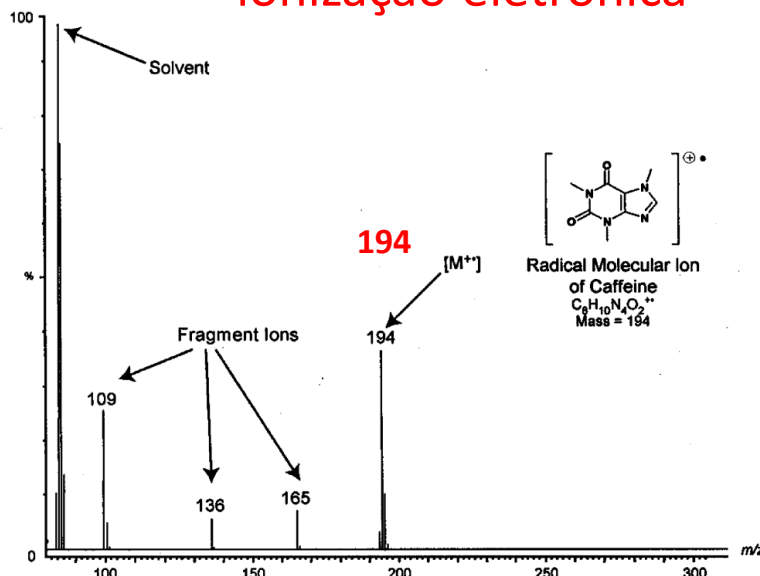


ionização química

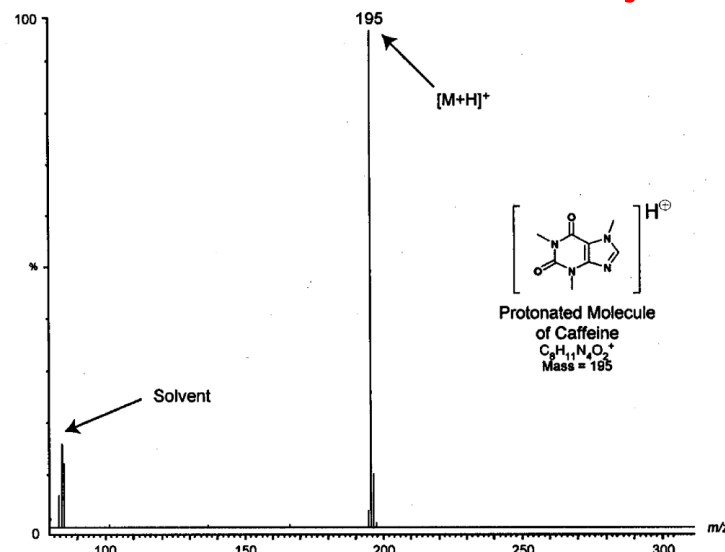
Pavia, p. 120

Espectro de massas da cafeína por ionização eletrônica e por ionização química

ionização eletrônica



195 ionização química

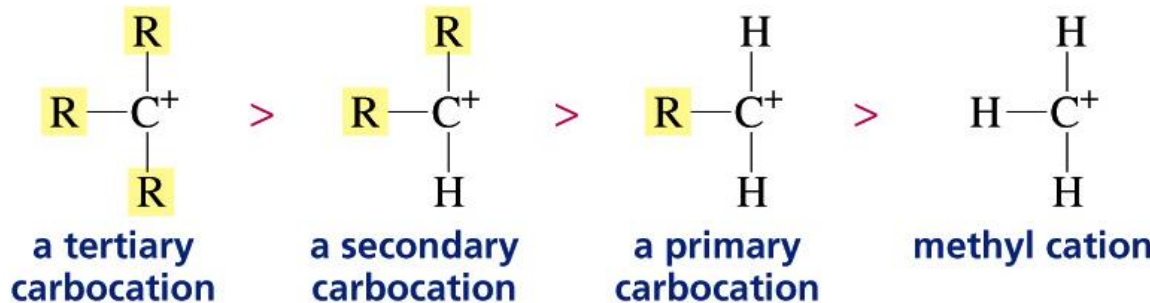
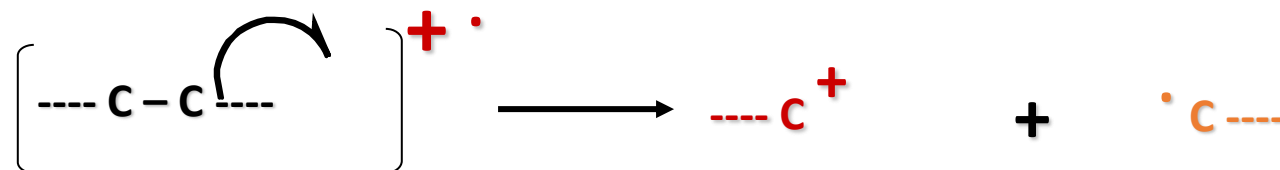


Se o íon molecular for pouco visível no modo de ionização eletrônica:

- 1) Abaixar o potencial de ionização;
- 2) Obter o espectro por ionização química;
- 3) Obter o espectro no modo electrospray

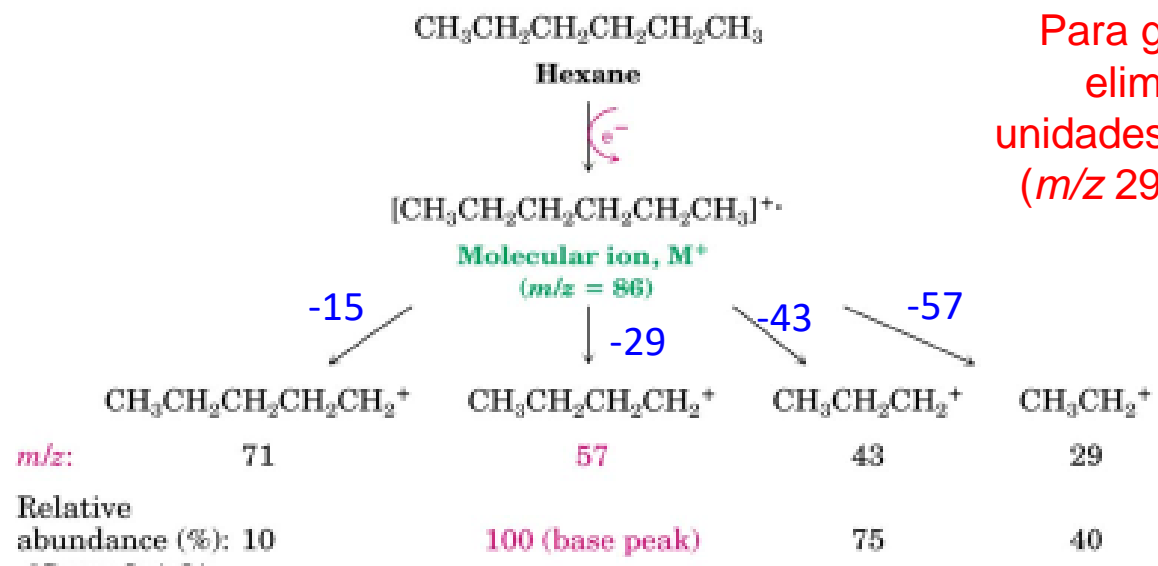
Regras comuns de fragmentação em espectrometria de massas

1) Quebra de ligações σ resultando em cations mais estáveis

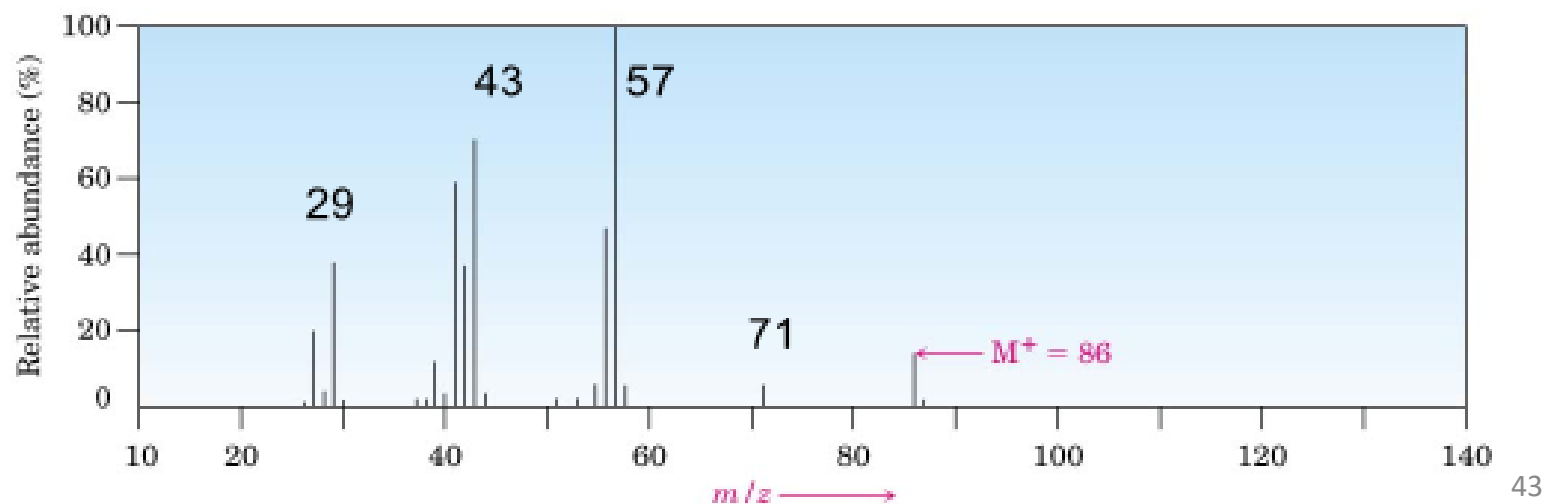


increasing stability

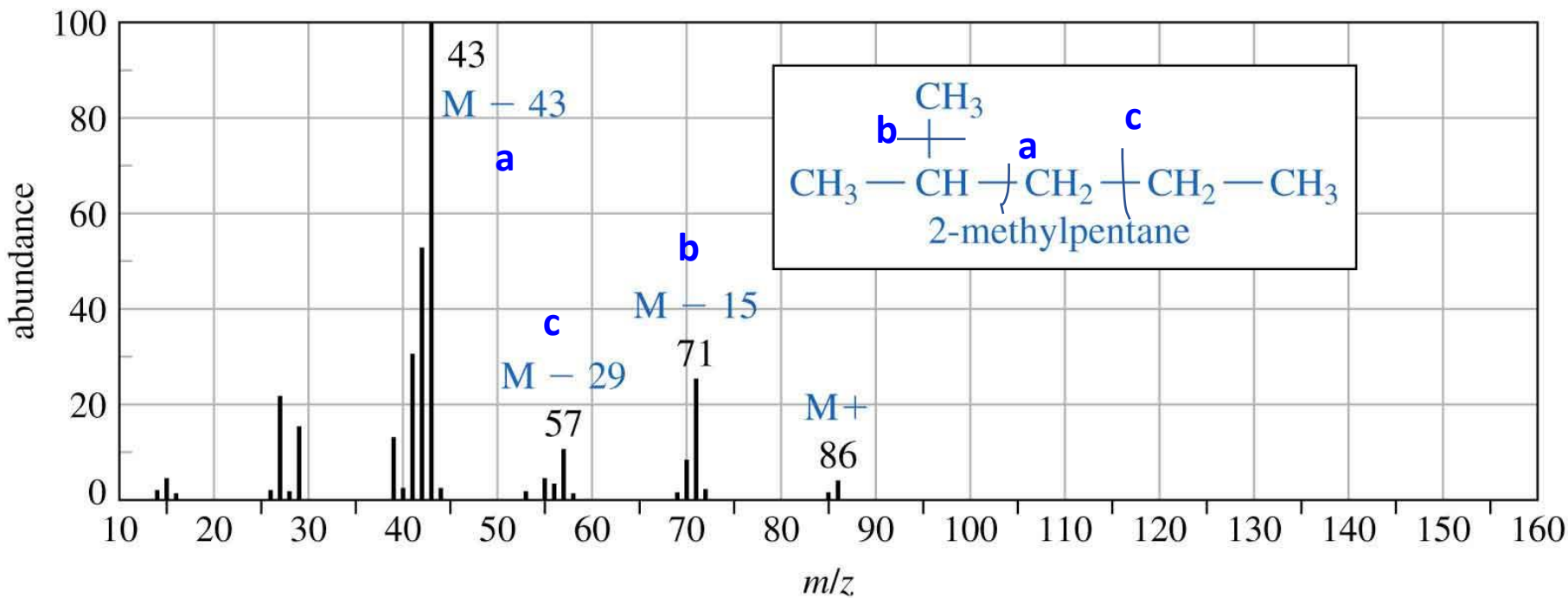
Espectro de massas do hexano



Há uma complementariedade entre as fragmentações: Para gerar o cátion em m/z 57 é eliminado o radical etila (29 unidades) e a geração do cátion etila (m/z 29) é eliminado o radical butil (57 unidades).



Espectro de massas do 2-metilpentano



Uma ramificação altera de forma significativa a intensidade dos íons formados por causa da maior estabilidade dos mesmos
(Regra de Stevenson)

Tabelas do Silverstein

Appendix B Common Fragment Ions

All fragments listed bear +1 charges. To be used in conjunction with Appendix C. Not all members of homologous and isomeric series are given. The list is meant to be suggestive rather than exhaustive. Appendix II of Hamming and Foster

(1972), Table A-7 of McLafferty's (1993) interpretative book and the high-resolution ion data of McLafferty (1982) are recommended as supplements. Structural inferences are listed in parentheses.

m/z Ions^a	(Structural Inference)
14 CH ₂	
15 CH ₃	
16 O	
17 OH	
18 H ₂ O, NH ₄	
19 F, H ₃ O	
26 C≡N, C ₂ H ₂	
27 C ₂ H ₃	
28 C ₂ H ₄ , CO, N ₂ (air), CH=NH	
29 C ₂ H ₅ , CHO	
30 CH ₂ NH ₂ (RCH ₂ NH ₂), NO	
31 CH ₂ OH (RCH ₂ OH), OCH ₃	
32 O ₂ (air)	
33 SH, CH ₂ F	
34 H ₂ S	
35 Cl (³⁷ Cl at 37)	
36 HCl (H ³⁷ Cl at 38)	
39 C ₃ H ₃	
40 CH ₂ C=N, Ar(air)	
41 C ₃ H ₅ , CH ₂ C=N + H, ^a C ₂ H ₂ NH	
42 C ₃ H ₆ , C ₂ H ₂ O	
43 C ₃ H ₅ , CH ₃ C=O, CH ₃ C=OG, (G = R, Ar, NH ₂ , OR, OH), C ₂ H ₅ N	
44 CH ₂ C=O + H (Aldehydes, McLafferty rearrangement), CH ₃ CHNH ₂ , CO ₂ , NH ₂ C=O (RC=ONH ₂), (CH ₃) ₂ N	
45 CHOH, CH ₂ CH ₂ OH, CH ₂ OCH ₃ (RCH ₂ OCH ₃), C=OH, CH ₃ CH—O + H (CH ₃ CHOHR)	
46 NO ₂	
47 CH ₂ SH (RCH ₂ SH), CH ₃ S	
48 CH ₃ S + H	
49 CH ₂ Cl (CH ₂ ³⁷ Cl at 51)	
51 CHF ₂ , C ₄ H ₃	
53 C ₄ H ₅	
54 CH ₂ CH ₂ C≡N	
55 C ₄ H ₇ , CH ₂ =CHC=O	
56 C ₄ H ₈	
57 C ₄ H ₉ , C ₂ H ₅ C=O	
58 CH ₃ —C=O + H, C ₂ H ₅ CHNH ₂ , (CH ₃) ₂ NCH ₂ , C ₂ H ₅ NHCH ₂ , C ₂ H ₂ S	
59 (CH ₃) ₂ COH, CH ₂ OC ₂ H ₅ , C=O—OCH ₃ (RCO ₂ CH ₃)	
60 CH ₂ C=O + H, CH ₃ OCHCH ₃ , CH ₃ CHCH ₂ OH	
61 CH ₃ C=O + 2H, CH ₂ CH ₂ SH, CH ₂ SCH ₃	
65 C ₅ H ₅	
66  ≡ C ₅ H ₆ , H ₂ S ₂ (RSSR)	
67 C ₅ H ₇	
68 CH ₂ CH ₂ CH ₂ C≡N	
69 C ₅ H ₉ , CF ₃ , CH ₃ CH=CHC=O, CH ₂ =C(CH ₃)C=O	
70 C ₅ H ₁₀	
71 C ₅ H ₁₁ , C ₃ H ₇ C=O	
72 C ₂ H ₅ C=O + H, C ₃ H ₇ CHNH ₂ , (CH ₃) ₂ N=C=O, C ₂ H ₅ NHCHCH ₃ and isomers	
73 Homologs of 59, (CH ₃) ₂ Si	
74 CH ₂ —C=O—OCH ₃ + H	
75 C=O—OC ₂ H ₅ + 2H, C ₂ H ₃ CO + 2H, CH ₂ SC ₂ H ₅ , (CH ₃) ₂ CSH, (CH ₃ O) ₂ CH, (CH ₃) ₂ SiOH	
76 C ₆ H ₆ (C ₆ H ₅ X, C ₆ H ₄ XY)	
77 C ₆ H ₅ (C ₆ H ₅ X)	
78 C ₆ H ₅ + H	
79 C ₆ H ₅ + 2H, Br (⁸¹ Br at 81)	

Appendix C Common Fragments Lost

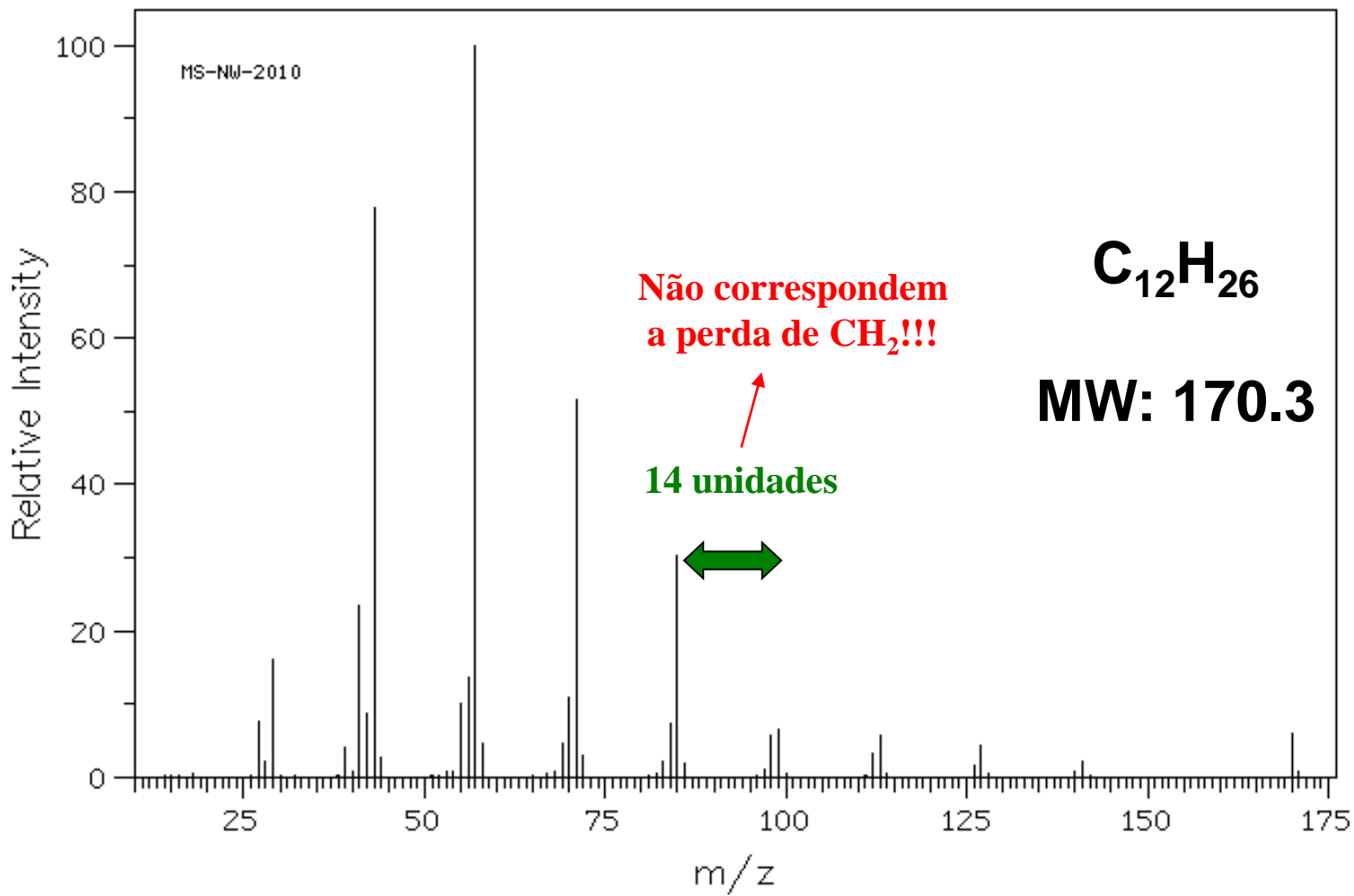
This list is suggestive rather than comprehensive. It should be used in conjunction with Appendix B. Table 5-19 of Hamming and Foster (1972) and Table A-5 of McLafferty (1993) are

recommended as supplements. All of these fragments are lost as neutral species.

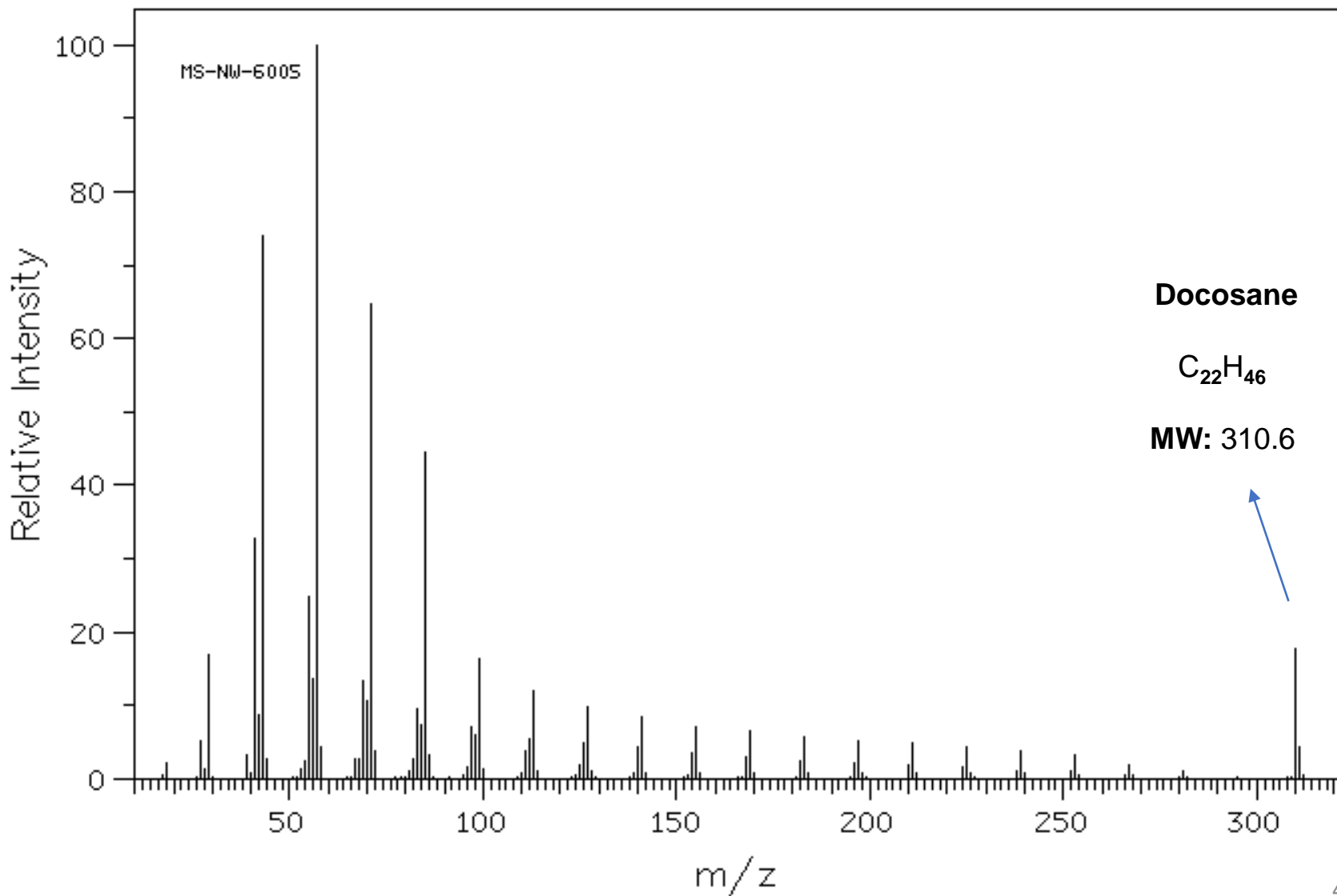
Tabelas do Silverstein (Fragmentos Neutros perdidos)

Molecular Ion Minus	Fragment Lost (Inference Structure)
1	H·
2	2H·
15	CH ₃ ·
16	O (ArNO ₂ , amine oxides, sulfoxides); ·NH ₂ (carboxamides, sulfonamides)
17	HO·
18	H ₂ O (alcohols, aldehydes, ketones)
19	F·
20	HF
26	CH≡CH, ·CH≡N
27	CH ₂ =CH·, HC≡N (aromatic nitrites, nitrogen heterocycles)
28	CH ₂ =CH ₂ , CO, (quinones) (HCN + H)
29	CH ₃ CH ₂ ·, (ethyl ketones, ArCH ₂ CH ₂ CH ₃), ·CHO
30	NH ₂ CH ₂ ·, CH ₂ O (ArOCH ₃), NO (ArNO ₂), C ₂ H ₆
31	·OCH ₃ (methyl esters), ·CH ₂ OH, CH ₃ NH ₂
32	CH ₃ OH, S
33	HS· (thiols), (·CH ₃ and H ₂ O)
34	H ₂ S (thiols)
35	Cl·
36	HCl, 2H ₂ O
37	H ₂ Cl (or HCl + H)
38	C ₃ H ₂ , C ₂ N, F ₂
39	C ₃ H ₃ , HC ₂ N
40	CH ₃ C≡CH
41	CH ₂ =CHCH ₂ ·
42	CH ₂ =CHCH ₃ , CH ₂ =C=O, H ₂ C $\begin{array}{c} \diagup \\ \text{H}_2 \\ \diagdown \end{array}$ CH ₂ , NCO, NCNH ₂
43	CH ₃ H ₇ · (propyl ketones, ArCH ₂ —C ₃ H ₇), CH ₃ C· (methyl ketones, CH ₃ C G, where G = various functional groups), CH ₂ =CH—O·, (CH ₃ · and CH ₂ =CH ₂), HCNO
44	CH ₂ =CHOH, CO ₂ (esters, anhydrides), N ₂ O, CONH ₂ , NHCH ₂ CH ₃
45	CH ₃ CHOH, CH ₃ CH ₂ O· (ethyl esters), CO ₂ H, CH ₃ CH ₂ NH ₂
46	(H ₂ O and CH ₂ =CH ₂), CH ₃ CH ₂ OH, ·NO ₂ (ArNO ₂)
47	CH ₃ S·
48	CH ₃ SH, SO (sulfoxides), O ₃
49	·CH ₂ Cl
51	·CHF ₂
52	C ₄ H ₄ , C ₂ N ₂
53	C ₄ H ₅
54	CH ₂ =CH—CH=CH ₂
55	CH ₂ =CHCHCH ₃

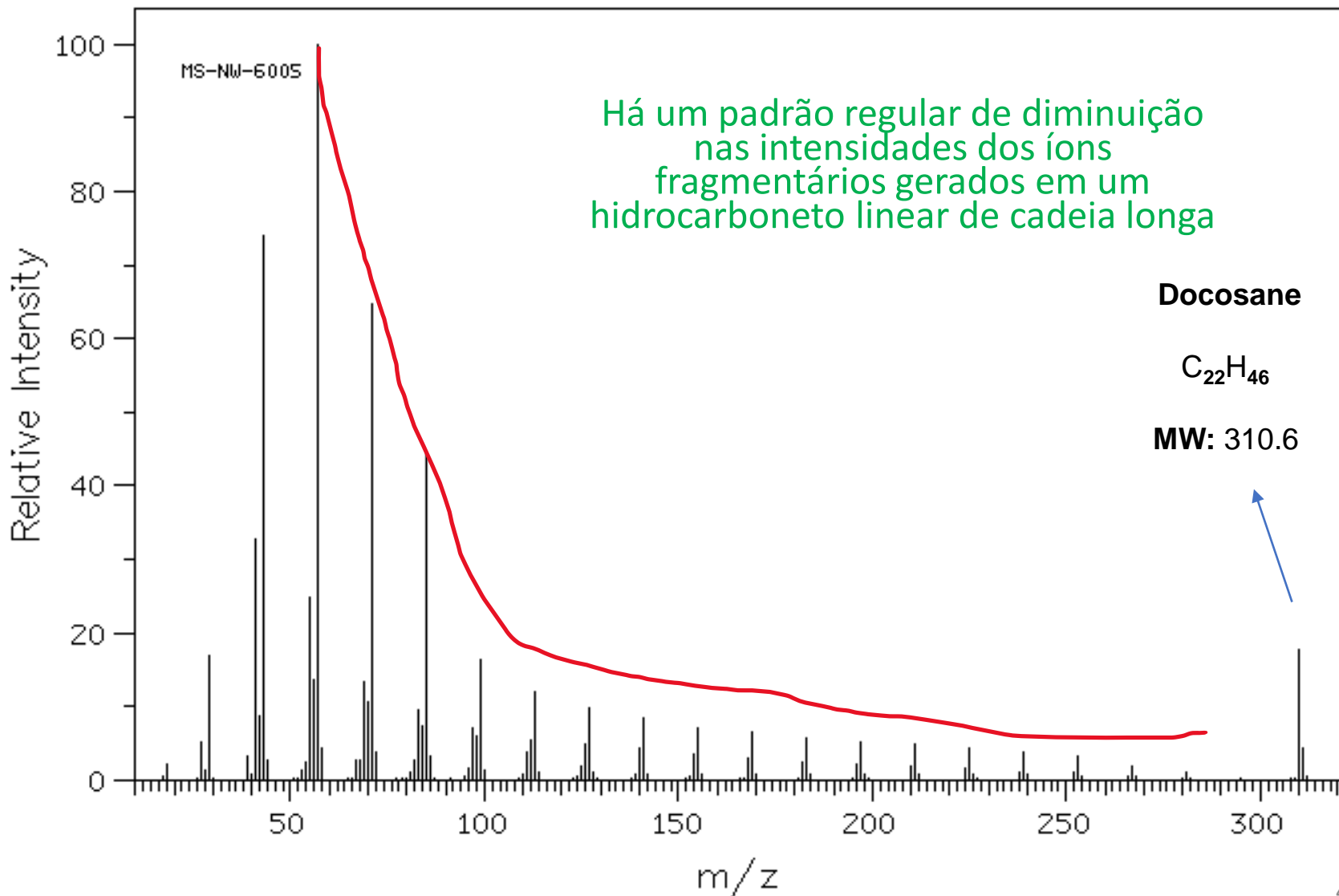
Espectro de massas do dodecano



Espectro de massas do docosano



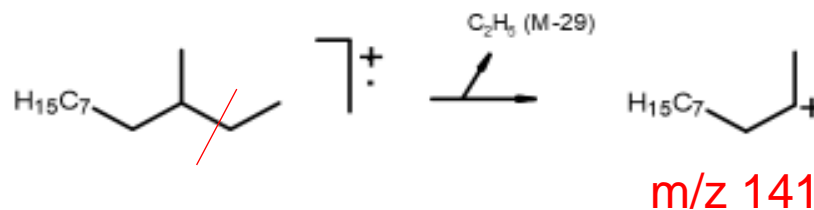
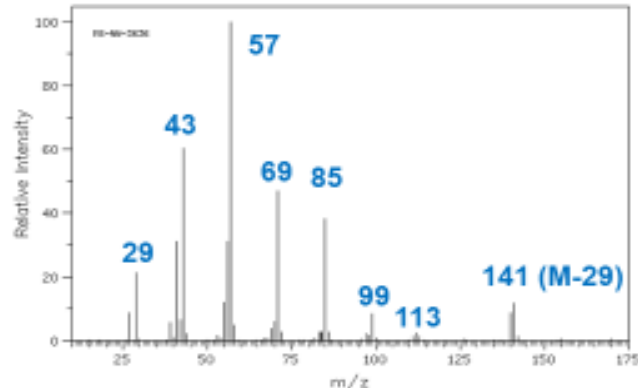
Espectro de massas do docosano



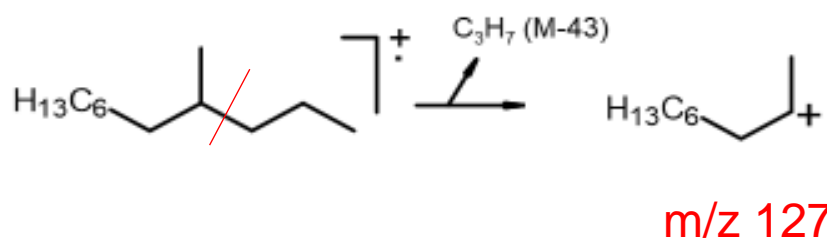
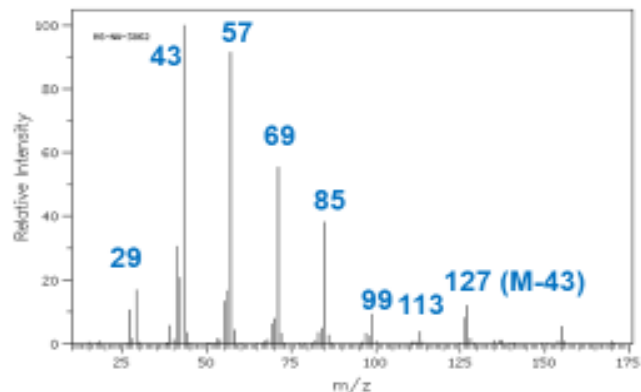
Localização da ramificação em hidrocarbonetos isoméricos ramificados

3-metilundecano

Isômeros ramificados do dodecano
MM 170.33 (não detectado)



Fragmentação alfa:
gerando cátion secundários

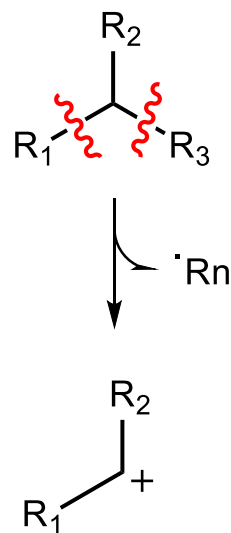


4-metilundecano

Fator importante: estabilização de cations por efeitos +I e hiperconjugação.

Fragmentações α são favorecidas por fatores que estabilizam os cátions resultantes

hidrocarbonetos



Cátions mais substituídos
estabilizados por efeitos induutivos,
hiperconjugativos; conjugados à
insaturações;
As fragmentações de radicais
alquílicos maiores são favorecidas.